15

20

25

30

Souches de microorganismes optimisées pour des voies de biosynthèse consommatrices de NADPH

Le NADP (nicotinamide adénine dinucléotide phosphate) participe sous sa forme réduite, NADPH, aux réactions intracellulaires d'oxydoréductions impliquant des enzymes à activité déshydrogénase ou réductase.

La présente invention concerne des souches de microorganismes optimisées pour la production par biotransformation, de molécules ayant des voies de biosynthèse consommatrices de NADPH. Les souches selon l'invention sont utilisables dans des procédés de biotransformation consommateurs de NADPH. Les souches définies selon l'invention peuvent être procaryotiques ou eucaryotiques. Dans un mode de réalisation préféré, ladite souche procaryotique est une souche d'Escherichia coli. Dans un autre mode de réalisation, ladite souche eucaryotique est une souche de Saccharomyces, en particulier S. cerevisiae.

La présente invention concerne également un procédé de préparation de molécules par biotransformation comprenant la culture dans un milieu approprié d'une souche optimisée selon l'invention, ladite souche optimisée comprenant également les éléments génétiques nécessaires à la préparation de ladite molécule.

Les procédés de biotransformation ont été développés pour permettre la production de molécules en grande quantité à des coûts faibles, tout en permettant également la valorisation de différents sous-produits industriels ou de l'agriculture.

Pour produire des molécules d'intérêt par biotransformation in vivo on distinguera deux grandes approches :

- d'une part la fermentation qui permet la production de molécules par un microorganisme à partir d'une source de carbone simple (e.g. WO0102547 qui décrit la production de lysine par fermentation de C. glutamicum en présence de glucose),
- d'autre part la bioconversion par un microorganisme d'un co-substrat donné en une molécule d'intérêt (e.g. WO0012745 qui décrit la production de dérivés R-pipéridine, WO0068397 qui décrit la production de tagatose). Le co-substrat est non assimilable ; il est différent de la source de carbone qui est utilisée seulement pour produire la biomasse et le NADPH nécessaire à la bioconversion.

10

15

20

25

30

L'amélioration d'un procédé de biotransformation peut porter sur différents facteurs comme la température, l'oxygénation, la composition du milieu, le procédé de récupération, etc. On peut aussi envisager de modifier le microorganisme de telle sorte que la production de la molécule d'intérêt et/ou son excrétion soit augmentée.

Dans le cadre d'une fermentation on s'attachera par exemple à optimiser la voie de biosynthèse, par exemple en modifiant la régulation des gènes ou en modifiant les gènes afin de modifier les caractéristiques des enzymes impliquées, ou encore en optimisant la régénération des cofacteurs.

Dans le cadre de la bioconversion on s'attachera davantage à réduire la formation de co-produits et à optimiser la régénération de cofacteurs impliqués dans la ou les étapes de bioconversion.

Parmi les cofacteurs impliqués dans les biotransformations, le NADPH prend une part importante notamment pour la production des acides aminés (e.g. arginine, proline, isoleucine, méthionine, lysine), de vitamines (e.g. panthoténate, phylloquinone, tocophérol), de molécules aromatiques (e.g. WO9401564), de polyols (e.g. xylitol), de polyamines (e.g. spermidine), d'hydroxyesters (e.g. éthyl-4-chloro-3-hydroxybutyrate) ou d'autres molécules à haute valeur ajoutée.

La présente invention concerne donc une souche de microorganismes optimisée pour la production de molécules ayant des voies de biosynthèse consommatrices de NADPH.

Au lieu d'essayer d'optimiser pour chaque biotransformation le ratio NADPH/NADP⁺ dans le microorganisme, les inventeurs ont opté pour la production de microorganismes modifiés afin d'obtenir différents ratios NADPH/NADP⁺, lesdits microorganismes modifiés étant ensuite employés pour réaliser les biotransformations consommatrices de NADPH.

Par souche de microorganismes, on entend selon l'invention un ensemble de microorganismes d'une même espèce comprenant au moins un microorganisme de ladite espèce. Ainsi, les caractéristiques décrites pour la souche s'appliquent à chacun des microorganismes de ladite souche. De même, les caractéristiques décrites pour l'un des microorganismes de la souche s'appliqueront à l'ensemble desdits microorganismes la composant.

15

20

30

Parmi les microorganismes optimisés selon l'invention, on citera les bactéries et les levures, les champignons filamenteux et notamment les bactéries et les levures des espèces suivantes: Aspergillus sp., Bacillus sp., Brevibacterium sp., Clostridium sp., Corynebacterium sp., Escherichia sp., Gluconobacter sp., Penicillium sp., Pichia sp., Pseudomonas sp., Rhodococcus sp., Saccharomyces sp., Streptomyces sp., Xanthomonas sp., Candida sp.

Le principe de l'optimisation du ratio NADPH/NADP⁺ est décrit ci-après pour *E. coli* et *S. cerevisiae*. Le même principe peut être appliqué de manière similaire à tous les microorganismes cultivés en conditions aérobies.

Le principe de l'optimisation du ratio NADPH/NADP⁺ consiste à limiter les activités enzymatiques impliquées dans l'oxydation du NADPH, et/ou à favoriser les activités enzymatiques permettant la réduction du NADP⁺. On limite les activités enzymatiques impliquées dans l'oxydation du NADPH en diminuant, et plus particulièrement en inactivant, de telles activités, notamment les activités de type quinone oxidoréductase et/ou transhydrogénase soluble. On favorise les activités enzymatiques permettant la réduction du NADP⁺ en imposant le flux de carbone via le cycle des pentoses phosphate et/ou en modifiant la spécificité de cofacteur d'au moins une enzyme de telle sorte qu'elle utilise le NADP préférentiellement au NAD, son cofacteur habituel.

Les souches optimisées selon l'invention sont obtenues par biologie moléculaire. L'homme du métier connaît les protocoles permettant de modifier le caractère génétique des microorganismes. Les techniques de transformation sont documentées et sont à la portée de l'homme du métier (Sambrook *et al.*, 1989 Molecular cloning : a laboratory manual. 2nd Ed. Cold Spring Harbor Lab., Cold Spring Harbor, New York.).

Les procédés permettant de limiter une activité enzymatique consistent à modifier le gène permettant son expression par un moyen approprié, par exemple en apportant une ou plusieurs mutation(s) dans la partie codante du gène concerné, ou en modifiant la région promotrice, notamment en la remplaçant par une séquence permettant de diminuer l'expression du gène.

Les procédés permettant d'inactiver une activité enzymatique consistent à inactiver le produit d'expression du gène concerné par un moyen approprié, ou bien à inhiber l'expression du gène concerné, ou encore à déléter au moins une partie du gène concerné, de manière à ce que soit son expression n'ait pas lieu (p ar exemple délétion d'une partie ou de l'ensemble de la

10

15

·25

région promotrice nécessaire à son expression), soit le produit d'expression ait perdu sa fonction (par exemple délétion dans la partie codante du gène concerné).

De manière préférentielle, la délétion d'un gène comprend la suppression de l'essentiel dudit gène, et le cas échéant son remplacement par un gène marqueur de sélection permettant de faciliter l'identification, l'isolement et la purification des souches optimisées selon l'invention.

L'inactivation d'un gène chez E. coli se fait préférentiellement par recombinaison homologue (Datsenko, K.A.; Wanner, B.L. (2000) One-step inactivation of chromosomal genes in Escherichia coli K-12 using PCR products. Proc. Natl. Acad. Sci. USA 97: 6640-6645). Le principe d'un protocole en est rappelé brièvement: on introduit dans la cellule un fragment linéaire, obtenu in vitro, comprenant les deux régions flanquant le gène, et au moins un gène de sélection entre ces deux régions (généralement un gène de résistance à un antibiotique), ledit fragment linéaire présentant donc un gène inactivé. On sélectionne les cellules ayant subi un événement de recombinaison et ayant intégré le fragment introduit par étalement sur milieu sélectif. On sélectionne ensuite les cellules ayant subi un événement de double recombinaison, dans lesquelles le gène natif a été remplacé par le gène inactivé. Ce protocole peut être amélioré en utilisant des systèmes de sélections positive et négative, afin d'accélérer la détection des événements de double recombinaisons.

L'inactivation d'un gène chez S. cerevisiae se fait également préférentiellement par recombinaison homologue (Baudin et al., Nucl. Acids Res. 21, 3329-3330, 1993; Wach et al., Yeast 10, 1793-1808, 1994; Brachmann et al., Yeast. 14:115-32, 1998).

Les procédés permettant de favoriser une activité enzymatique consistent à stabiliser le produit d'expression du gène concerné par un moyen approprié par exemple en diminuant sa sensibilité à des effecteurs allostériques, ou bien à augmenter l'expression du dit gène de manière à augmenter la quantité d'enzyme.

La surexpression d'un gène peut être effectuée par changement du promoteur de ce gène in situ, par un promoteur fort ou inductible. De façon alternative, on introduit, dans la cellule, un plasmide réplicatif (simple ou multicopies) dans lequel le gène que l'on désire surexprimer est sous le contrôle du promoteur adéquat. Dans le cas de modification d'Escherichia coli, on pourra par exemple utiliser les promoteurs Plac-o, Ptrc-o, ptac-o, trois promoteurs forts bactériens pour lesquels l'opérateur lac (lacO) a été délété pour les rendre

constitutifs. Dans le cas de modifications de Saccharomyces cerevisiae, on pourra par exemple utiliser les promoteurs Ppgk, Padh1, Pgal1, Pgal10.

Les procédés permettant de modifier la spécificité de cofacteur d'une enzyme de telle sorte qu'elle utilise le NADP préférentiellement au NAD, consistent à modifier la séquence du gène permettant l'expression de cette enzyme (Bocanegra, J.A. Scrutton, N.S.; Perham, R.N. (1993) Creation of an NADP-dependent pyruvate dehydrogenase multienzyme complex by protein engineering. *Biochemistry* 32: 2737-2740).

Les souches optimisées selon l'invention (i.e. capacité accrue de réduction du NADP⁺) comprennent l'atténuation voire l'inactivation, d'une ou plusieurs activité(s) enzymatique(s) oxydant le NADPH, et en particulier, des activités de type quinone oxidoréductase et/ou transhydrogénase soluble.

On citera pour exemples d'enzymes oxydant le NADPH et sans que cette liste soit limitative les activités et les gènes suivants :

Activités enzymatiques	Numéro EC	Gènes <i>E. coli</i>	Gènes S. cerevisia
Alcool déshydrogénase	1.1.1.2	yahK	ADH6
Aldose réductase	1.1.1.21		GRE3
Shikimate déshydrogénase	1.1.1.25	aroE	ARO1
Méthylglyoxal réductase	1.1.1.78	·	GRE2p
Gamma-glutamyl phosphate réductase	1.2.1.41	proA	PRO2
2,4-diénoyi coenzyme A réductase	1.3.1.34	fadH	
Glutamate déshydrogénase	1.4.1.4	gdhA	GDH1, GDH2
Glutamate synthase	1.4.1.13	gltB, gltD	GLT1
Méthylènetétrahydrofolate déshydrogénase	1.5.1.5	folD	ADE3, MIS1
Transhydrogénase soluble	1.6.1.1	udhA	
Transhydrogénase membranaire	1.6.1.2	pntA, pntB	
Quinone oxidoréductase	1.6.5.5	qor	ZTA1
Nitrite réductase	1.7.1.4	nirB, nirD	
Sulfite réductase	1.8.1.2	cysl, cysJ	
Stérol déméthylase	1.14.13.70		ERG11
4-Hydroxy-3-méthylbut-2-ényl diphosphate réductase	1.17.1.2	ispH	
Flavodoxin réductase	1.18.1.2	fpr	·

Les souches optimisées selon l'invention (i.e. capacité accrue de réduction du NADP⁺) comprennent également des modifications permettant de favoriser une ou plusieurs activité(s)

20

enzymatique(s) réduisant le NADP⁺, et en particulier, des modifications permettant d'imposer le flux de carbone via le cycle des pentoses phosphate, et/ou des modifications portant sur la spécificité de cofacteur d'au moins une enzyme, de telle sorte qu'elle utilise le NADP préférentiellement au NAD, son cofacteur habituel.

Les activités susceptibles d'être modifiés dans les souches optimisées selon l'invention (i.e. capacité accrue de réduction du NADP⁺) afin de favoriser une ou plusieurs activité(s) enzymatique(s) réduisant le NADP⁺, sont décrites ci-dessous :

Activités enzymatiques	Numéro EC	Gènes E. coli	Gènes S. cerevisiae
Phosphoglucose isomérase	5.3.1.9	pgi	PGI1
Phosphofructokinase	2.7.1.11	pfkA, pfkB	PFK1, PFK2
Glucose 6-phosphate déshydrogénase	1.1.1.49	zwf	ZWF1
6-Phosphogluconolactonase	3.1.1.31		SOL1, SOL2, SOL3, SOL4
6-Phosphogluconate déshydrogénase	1.1.1.44	gnd	GND1, GND2
6-Phosphogluconate déshydratase	4.2.1.12	edd	
Malate synthase	2.3.3.9	aceB	DAL7
Isocitrate lyase	4.1.3.1	aceA	ICL1
Isocitrate déshydrogénase	1.1.1.42	icd	IDP1, IDP2, IDP3
Isocitrate déshydrogénase kinase/phosphatase	2.7.1.116	aceK	
Dihydrolipoamide déshydrogénase	1.8.1.4	I pd	LPD1
Glycéraldehyde-3-phosphate déshydrogénase	1.2.1.12	gapA, gapC	TDH1, TDH2, TDH3

Les activités enzymatiques susceptibles d'être modifiées dans les souches optimisées selon l'invention sont définies principalement par l'emploi de la dénomination de la protéine ou du gène chez *E. coli* ou *S. cerevisiae*. Cependant, cet emploi a une signification plus générale selon l'invention et englobe les activités enzymatiques correspondantes chez d'autres microorganismes. En effet en utilisant les les séquences des protéines et des gènes d'*E. coli* ou de *S. cerevisiae*, l'homme du métier est capable de déterminer les protéines et les gènes équivalents dans d'autres microorganismes qu'*E. coli* ou *S. cerevisiae*.

Les moyens d'identification des séquences homologues et de leurs pourcentages d'homologie sont bien connus de l'homme du métier, comprenant notamment le programme BLAST qui peut être utilisé à partir du site http://www.ncbi.nlm.nih.gov/BLAST/ avec les paramètres indiqués par défaut sur ce site. Les séquences obtenues peuvent alors être exploitées (e.g. alignées) en utilisant par exemple les programmes CLUSTALW

15

20

25

(<u>http://www.ebi.ac.uk/clustalw/</u>) ou MULTALIN (<u>http://prodes.toulouse.inra.fr/multalin/cgi-bin/multalin.pl</u>), avec les paramètres indiqués par défaut sur ces sites.

Alternativement il est possible d'utiliser CD-Searchprogramme (http://www.ncbi.nih.gov/Structure/cdd/wrpsb.cgi) qui permet d'identifier des domaines conservés dans les séquences protéiques d'E. coli ou de S. cerevisiae, et de rechercher des séquences d'autres microorganismes, présentant le ou les même(s) domaine(s). Les domaines conservés sont répertoriés dans la base de données CDD (Conserved domain database; Marchler-Bauer A, Anderson JB, DeWeese-Scott C, Fedorova ND, Geer LY, He S, Hurwitz DI, Jackson JD, Jacobs AR, Lanczycki CJ, Liebert CA, Liu C, Madej T, Marchler GH, Mazumder R, Nikolskaya AN, Panchenko AR, Rao BS, Shoemaker BA, Simonyan V, Song JS, Thiessen PA, Vasudevan S, Wang Y, Yamashita RA, Yin JJ, Bryant SH. CDD: a curated Entrez database of conserved domain alignments. Nucleic Acids Research 31:383-387 (2003)) qui regroupe les données de type PFAM ou COG.

Les PFAM (Protein FAMilies database of alignments and hidden markov models; http://www.sanger.ac.uk/Software/Pfam/) représentent une large collection d'alignements de séquences protéiques. Chaque PFAM permet de visualiser des alignements multiples, de voir des domaines protéiques, d'évaluer la répartition entre les organismes, d'avoir accès à d'autres bases de données, de visualiser des structures connues de protéines.

Les COGs (Clusters of Orthologous Groups of proteins; http://www.ncbi.nlm.nih.gov/COG/) sont obtenus en comparant les séquences protéiques issus de 43 génomes complètement séquencés représentant 30 lignées phylogénétiques majeurs. Chaque COG est défini à partir d'au moins trois lignées ce qui permet ainsi d'identifier des domaines conservés anciens.

À partir des séquences consensus identifiées par ces différentes méthodes, il est possible de dessiner des sondes oligonucléotidiques dégénérées permettant de cloner le gène correspondant chez un autre microorganisme. Ces techniques de routine de biologie moléculaire sont bien connues dans l'art et sont décrites par exemple dans Sambrook et al. (1989 Molecular cloning : a laboratory manual. 2nd Ed. Cold Spring Harbor Lab., Cold Spring Harbor, New York.).

30 <u>Exemples de gènes codant pour des protéines analogues à la transhydrogénase soluble d'E.</u>

coli codée par le gène udhA:

Gènes	Microorganismes
sth	Azotobacter vinelandii
udhA	Salmonella typhimurium LT2
sthA	Pseudomonas aeruginosa PA01
sth	Pseudomonas fluorescens
sthA	Pseudomonas putida KT2440
udhA	Shigella flexneri 2a str. 3.01
sthA	Vibrio cholera
sthA	Yersinia pestis

Exemples de gènes codant pour des protéines analogues à la quinone oxidoréductase d'E. coli codée par le gène gor:

Gènes	Microorganismes
qor	Bradyrhizobium japonicum USDA 110
qor	Brucella suis 1330
CC3759	Caulobacter crescentus
mil0505	Mesorhizobium loti
qor	Mycobacterium tuberculosis H37RV
qor	Pseudomonas aeruginosa
ZTA1	S. cerevisiae
SPCC285.01c	Schizosaccharomyces pombe
drgA	Synechocystis sp. PCC6803
qorA	Staphylococcus aureus
TTC0305	Thermus thermophilus HB8
qor	Yersinia pestis CO92

Les souches optimisées selon l'invention (i.e. capacité accrue de réduction du NADP⁺) comprennent la délétion d'au moins un gène codant pour une activité oxydant le NADPH, et en particulier, la délétion d'un gène codant pour une Quinone oxidoréductase (e.g. qor, ZTA1) et/ou d'un gène codant pour une activité Transhydrogénase soluble (e.g. udhA).

Selon un mode préférentiel de réalisation de l'invention, les gènes udhA et qor sont 0 tous deux délétés.

10

15

20

30

Selon un mode particulier de réalisation de l'invention, les souches optimisées selon l'invention comprennent également la délétion d'un ou plusieurs gène(s) codant pour les activités Phosphoglucose isomérase (e.g. pgi, PGI1) et/ou Phosphofructokinase (e.g. pfkA, PFK1).

Selon un autre mode particulier de réalisation de l'invention, les souches optimisées selon l'invention comprennent également la modification d'un ou plusieurs gène(s) codant pour les activités Dihydrolipoamide déshydrogénase (e.g. lpd, LPD1) et/ou Glycéraldéhyde 3-phosphate déshydrogénase (e.g. gapA, TDH1), la modification consistant à modifier la préférence de l'enzyme au profit du NADP au lieu du NAD, son cofacteur habituel.

Les souches selon l'invention ayant la délétion des gènes codant pour les activités Phosphoglucose isomérase et/ou Phosphofructokinase sont plus particulièrement adaptées pour les procédés de biotransformation.

Pour augmenter davantage la quantité de NADPH disponible dans les microorganismes optimisés selon l'invention, il peut être également avantageux de surexprimer au moins un gène codant pour une activité enzymatique parmi la Glucose 6-phosphate déshydrogénase (e.g. zwf, ZWF1), la 6-Phosphogluconolactonase (e.g. SOL1), la 6-Phosphogluconate déshydrogénase (e.g. gnd, GND1), l'Isocitrate déshydrogénase (e.g. icd, IDP1) et la Transhydrogénase membranaire (e.g. pntA), et/ou de déléter au moins un gène codant pour une activité enzymatique parmi la 6-Phosphogluconate déshydratase (e.g. edd), la Malate synthase (e.g. aceB, DAL7), l'Isocitrate lyase (e.g. aceA, ICL1) et l'Isocitrate déshydrogénase kinase/phosphatase (e.g. aceK).

La présente invention a également pour objet un microorganisme optimisé pour la production de NADPH telle que définie ci-dessus et ci-après, lequel comprend également, un ou plusieurs gènes codant pour des activités enzymatiques impliquées dans la biotransformation d'une molécule d'intérêt, ainsi qu'un ou plusieurs gènes marqueurs de sélection.

Ces gènes peuvent être natifs de la souche optimisée selon l'invention ou encore introduits dans la souche optimisée selon l'invention par transformation avec un vecteur approprié, soit par intégration dans le génome du microorganisme ou encore par un vecteur réplicatif, ledit vecteur approprié portant un ou plusieurs gènes codant pour lesdites enzymes

25

30

impliqués dans la biotransformation de ladite molécule d'intérêt et/ou lesdits marqueurs de sélection.

Ces gènes comprennent une séquence d'acide nucléique codant pour une enzyme impliquée dans la biotransformation de la molécule d'intérêt et/ou pour un marqueur de sélection, la séquence codante étant fusionnée à des séquences promotrices efficaces dans la cellule procaryote et/ou eucaryote choisie pour la biotransformation. Le vecteur (ou plasmide) peut-être un vecteur navette entre E. coli et un autre microorganisme.

Le choix de la souche optimisée pour le ratio NADPH/NADP+ sera déterminé en fonction du type de biotransformation (fermentation ou bioconversion), de la demande totale en NADPH de la voie de bioconversion considérée, de la nature de(s) source(s) carbonée(s), de la demande en flux de biomasse, ...

La délétion des gènes codant pour les activités Phosphoglucose isomérase et/ou Phosphofructokinase devrait s'imposer lorsque l'on n'est pas capable de maîtriser la répartition du flux de carbone entre la glycolyse et la voie des pentoses phosphate. La délétion 15 des gènes codant pour la Phosphoglucose isomérase sera préférentiellement retenue pour les fermentations ou lorsque la demande en NADPH nécessite, au minimum, un flux de réduction de 2 moles de NADP⁺ par mole de glucose importée. La délétion des gènes codant pour la Phosphofructokinase sera préférentiellement choisie pour les bioconversions ou lorsque la demande en NADPH nécessite, au minimum, un flux de réduction de 3-4 moles de NADP+ par mole de glucose importée. La modification, telle que décrite ci-dessus et ci-après, des gènes codant pour les activités Dihydrolipoamide déshydrogénase et/ou Glycéraldéhyde 3phosphate déshydrogénase sera réalisée lorsque les biotransformations nécessiteront un flux de réduction, au minimum, supérieur à 3 moles de NADP+ par mole de glucose importé et notamment, pour optimiser les souches E. coli $\Delta(udhA, qor)$ ou E. coli $\Delta(udhA, qor, pgi)$ ou E. coli Δ(udhA, qor, pfkA, pfkB). Les autres modifications citées, à savoir la surexpression d'au moins un gène codant pour une activité enzymatique parmi la Glucose 6-phosphate déshydrogénase, la 6-Phosphogluconolactonase, la 6-Phosphogluconate déshydrogénase, l'Isocitrate déshydrogénase et la Transhydrogénase membranaire, et/ou la délétion d'au moins un gène codant pour une activité enzymatique parmi la 6-Phosphogluconate déshydratase, la Malate synthase, l'Isocitrate lyase et l'Isocitrate déshydrogénase kinase/phosphatase, pourront

20

25

être réalisées afin d'affiner l'optimisation du ratio NADPH/NADP⁺ aux besoirns de la cellule et du procédé de biotransformation considéré.

La présente invention concerne également un procédé de préparation des souches optimisées selon l'invention telle que définie ci-dessus et ci-après, dans lequel on délète un gène pris parmi ceux codant pour les activités Quinone oxidoréductase et Transhydrogénase soluble, et le cas échéant on délète un gène pris parmi ceux codant pour les activités Glucose 6-phosphate déshydrogénase et 6-Phosphogluconolactonase, et/ou on modifie au moins un gène codant des enzymes à NAD, en particulier pour les activités Dihydrolipoamide déshydrogénase et Glycéraldéhyde 3-phosphate déshydrogénase, afin qu'elles utilisent préférentiellement le NADP, et le cas échéant on délète au moins un gène choisi parmi ceux codant pour les activités 6-Phosphogluconate déshydratase, Malate synthase, Isocitrate lyase et Isocitrate déshydrogénase kinase/phosphatase, ces délétions et modifications étant réalisées par un moyen approprié, et/ou on surexprime au moins un gène choisi parmi ceux codant pour les activités Glucose 6-phosphate déshydrogénase, 6-Phosphogluco nolactonase, 6déshydrogénase, Isocitrate déshydrogénase Transhydrogénase Phosphogluconate membranaire, soit en transformant la souche avec un vecteur approprié permettant la surexpression, soit en modifiant la force du promoteur endogène contrôlant le gène à surexprimer.

Selon un mode particulier de réalisation de l'invention, le procédé de préparation des souches selon l'invention comprend également la transformation des souches optimisées avec au moins un vecteur approprié comprenant un ou plusieurs gène(s) codant une ou des enzyme(s) impliqués dans la biotransformation d'une molécule d'intérêt, ainsi qu'un ou plusieurs gène(s) marqueur(s) de sélection.

Un autre aspect de l'invention concerne l'utilisation de ces souches optimisées selon l'invention pour les biotransformations NADPH-dépendantes permettant ainsi une amélioration du rendement de biotransformation par rapport à une souche non optimisée pour le NADPH.

Les biotransformations seront réalisées en utilisant des souches définies selon l'invention dans lesquelles seront exprimés des gènes codants pour des activités enzymatiques catalysant des réactions NADPH-dépendantes. L'homme du métier saura ai sément identifier de telles enzymes, on citera pour exemples et sans que cette liste soit limitative les enzymes

suivantes: EC 1.1.1.10 L-xylulose réductase, EC 1.1.1.21 méthylglyoxal réductase, EC 17)β-hydroxystéroide déshydrogénase, EC 1.1.1.54 3(or 1.1.1.51 déshydrogenase, EC 1.1.1.80 isopropanol déshydrogénase, EC 1.1.1.134 dTDP-6-déoxy-Ltalose 4-déshydrogénase, EC 1.1.1.149 20α-hydroxystéroide déshydrogénase, EC 1.1.1.151 21-hydroxystéroide déshydrogénase, EC 1.1.1.189 prostaglandine-E₂ 9-réductase, EC 1.1.1.191 indole-3-acétaldehyde réductase EC 1.1.1.207 (-)-menthol déshydrogénase, EC 1.1.1.234 flavanone 4-réductase, EC 1.2.1.50 long-chain-fatty-acyl-CoA réductase, EC 1.3.1.4 cortisone α -réductase, EC 1.3.1.23 cholesténone 5 β -réductase, EC 1.3.1.70 Δ^{14} -stérol réductase, EC 1.4.1.12 2,4-diaminopentanoate déshydrogénase, EC 1.5.1.10 saccharopine déshydrogénase, L-glutamate-forming, EC 1.7.1.6 azobenzène réductase, EC 1.8.1.5 2-10 oxopropyl-CoM réductase (carboxylating), EC 1.10.1.1 trans-acénaphthène-1,2-diol déshydrogénase, EC 1.14.13.7 phenol 2-monooxygénase, EC 1.14.13.12 benzoate 4monooxygénase, EC 1.14.13.26 phosphatidylcholine 12-monooxygénase, EC 1.14.13.64 4-EC 1.14.13.70 stérol 14-déméthylase, EC 1.16.1.5 hydroxybenzoate 1-hydroxylase, aquacobalamine réductase, EC 1.17.1.1 CDP-4-déhydro-6-déoxyglucose réductase, EC 15 1.18.1.2 ferredoxine-NADP réductase.

L'invention concerne aussi un procédé de production d'une molécule d'intérêt dont au moins une des réactions de la voie de biosynthèse est NADPH-dépendante, caractérisé en ce qu'il comprend les étapes suivantes :

- a) mise en culture des microorganismes optimisés selon l'invention dans un milieu de culture approprié favorisant leur croissance et comprenant les substances nécessaires pour la réalisation de la biotransformation par fermentation ou biotransformation, à l'exception du NADPH, et
 - b) extraction de la molécule d'intérêt du milieu et le cas échéant purification.
- De manière préférentielle, la molécule d'intérêt est choisie parmi les acides aminés, les vitamines, les stérols, les flavonoïdes, les acides gras, les acides organiques, les polyols, les hydroxyesters. Pour les acides aminés ou leurs précurseurs on citera en particulier la lysine, la méthionine, la thréonine, la proline, l'acide glutamique, l'homosérine, l'isoleucine, la valine. Pour les vitamines ou leurs précurseurs on citera notamment le pantoate, le transneurosporène, la phylloquinone, les tocophérols. Pour les stérols on citera notamment le squalène, le cholestérol, la testostérone, la progestérone, la cortisone. Pour les flavonoïdes on

10

15

20

25

30

citera notamment la frambinone et la vestitone. Pour les acides organiques on citera l'acide coumarique, l'acide 3-hydroxypropionique. Pour les polyols on citera le sorbitol, le xylitol, le glycérol. Pour les hydroxyesters on citera l'éthyl-3-hydroxybutyrate, l'éthyl-4-chloro-3-hydroxybutyrate.

Dans le cas d'une bioconversion, le procédé comprend aussi l'ajout du substrat à « convertir » dans le milieu de culture approprié.

Le milieu de culture cité à l'étape b) du procédé selon l'invention définie ci-dessus comprend au moins un carbohydrate assimilable choisi parmi différents sucres assimilables, tels le glucose, le galactose, le saccharose, le lactose, ou les mélasses, ou les sous-produits de ces sucres. Une source de carbone simple tout particulièrement préférée est le glucose. Une autre source de carbone simple préférée est le saccharose. Le milieu de culture peut en outre contenir une ou plusieurs substances (e.g. acides aminés, vitamines, sels minéraux, ...) favorisant la croissance du microorganisme et/ou la production de la molécule d'intérêt. En particulier, le milieu minéral de culture pour *E. coli* pourra ainsi être de composition identique ou similaire à un milieu M9 (Anderson, 1946, *Proc. Natl. Acad. Sci. USA* 32:120-128), un milieu M63 (Miller, 1992; A Short Course in Bacterial Genetics: A Laboratory Manual and Handbook for *Escherichia coli* and Related Bacteria, Cold Spring Harbor Laboratory Press, Cold Spring Harbor, New York) ou un milieu tel que défini par Schaefer *et al.* (1999, *Anal. Biochem.* 270: 88-96).

La définition des conditions de biotransformation est du ressort de l'homme du métier. On fermente notamment les microorganismes à une température comprise entre 20°C et 55°C, de préférence entre 25°C et 40°C, plus particulièrement d'environ 30°C pour S. cerevīsiae et d'environ 37°C pour E. coli.

Les exemples ne sont donnés qu'à titre d'illustration de l'invention et ne limitent en aucun le mode de réalisation ni la portée de l'invention.

Exemple 1: Calcul des rendements optimaux théoriques de bioconversion de l'éthylacétoacétate en éthyl-3-hydroxybutyrate

a) bioconversion avec E. coli

Des modélisations prédictives sont réalisées en utilisant l'algorithme MetOpt®-Coli, un modèle stechiométrique développé par la société METabolic EXplorer, qui permet de

20

définir 1) le rendement maximal de production en éthyl-3-hydroxybutyrate à partir de l'éthylacétoacétate 2) la meilleure distribution de flux à partir du glucose pour assurer les besoins de croissance et d'équilibres redox nécessaires pour le développement de la cellule et l'atteinte du rendement maximal de bioconversion.

Les paramètres imposés au modèle sont notamment 1) un flux d'import de gluco se à 3 mmol.g⁻¹.h⁻¹, 2) un taux de croissance variable de 0, 0.15 et 0.25 h⁻¹, 3) un flux de la transhydrogénase membranaire (*pntAB*) variable et inférieur ou égal à 1 mmol.g⁻¹.h⁻¹. La valeur limite de flux de la transhydrogénase membranaire est déterminée à partir de la littérature (Hanson, 1979; Anderlund *et al.*, 1999; Emmerling *et al.*, 2002); 4) le flux de maintenance a été limité entre 5 et 22 mmol.g⁻¹.h⁻¹.

Dans tous les cas le modèle suggère la délétion des gènes udhA et qor. En pratique toutefois, la souche E. coli $[\Delta(udhA, qor)]$ ne permettra pas d'obtenir un rendement équi valent au rendement optimum théorique, car il sera difficile de maintenir la répartition adéquate de flux de carbone entre la voie des pentoses phosphate et celle de la glycolyse, cette répartition étant variable avec le taux de croissance. En pratique, on préférera donc utiliser les souches E. coli $[\Delta(udhA, qor, pfkA, pfkB)]$ ou $[\Delta(udhA, qor, pgi)]$, le choix entre ces deux souches étant fonction du taux de croissance de la souche lors du procédé de bioconversion.

Les rendements optimaux théoriques de bioconversion de l'éthylacétoacétate en éthyl-3-hydroxybutyrate ont été calculés pour différentes souches de *E. coli* optimisées selon l'invention:

	µ = 0	$\mu = 0.15 h^{-1}$	$\mu = 0.25 h^{-1}$
Δ(udhA, qor, pgi)	1,82	1,74	1,22
Δ(<i>udhA</i> , <i>qor</i> , <i>pgi</i>) <i>gap</i> A-NADP dépendant	4,29	3,64	2,43
Δ(<i>udhA</i> , <i>qor</i> , <i>pgi</i>) <i>lpd</i> -NADP dépendant	5,67	3,46	1,99
Δ(<i>udhA</i> , <i>qor</i> , <i>pgi) gap</i> A-NADP dépendant <i>lpd</i> -NADP dépendant	6,86	4,96	3,33
$\Delta(udhA, qor, pfkA, pfkB)$	6,76	4,65	0,19
Δ(udhA, qor, pfkA, pfkB) gapA-NADP dépendant	8,16	5,54	1,02
Δ(<i>udhA</i> , <i>qor</i> , <i>pfkA</i> , <i>pfkB) lpd-</i> NADP dépendant	8,33	5,60	1,77
Δ(udhA, qor, pfkA, pfkB) gapA-NADP dépendant lpd- NADP dépendant	9,33	6,38	2,60

20

25

30

Rendements optimaux théoriques de bioconversion de l'éthylacétoacétate en éthyl-3-hydroxybutyrate (mol par mol de glucose) par des souches d'*E. coli* optimisées dans leur capacité de réduction du NADP⁺

Afin d'améliorer encore le rendement optimal théorique des souches optimisées selon l'invention, des modifications supplémentaires peuvent être prises en compte, telles que la surexpression d'au moins un gène choisi parmi zwf, gnd, pntA, pntB et icd et/ou la délétion d'au moins un gène choisi parmi edd; aceA, aceB et-aceK.

b) bioconversion avec S. cerevisiae

Les modélisations prédictives sont réalisées en utilisant l'algorithme MetOpt®-Scere, un modèle stechiométrique développé par la société, qui permet de définir 1) le rendement maximal de production en éthyl-3-hydroxybutyrate à partir de l'éthylacétoacétate 2) la meilleure distribution de flux à partir du glucose pour assurer les besoins de croissance et d'équilibres redox nécessaire pour le développement de la cellule et l'atteinte du rendement maximal de bioconversion.

Les paramètres imposés au modèle sont notamment 1) un flux d'import de glucose à 3 mmol.g⁻¹.h⁻¹, 2) un taux de croissance variable de 0, 0.15 et 0.25 h⁻¹, 3) un flux de maintenance inférieur ou égal à 22 mmol.g⁻¹.h⁻¹; 4) les réactions des aldéhydes déshydrogénases (ALD2, ALD3, ALD6) sont irréversibles et imposées dans le sens acétate + NAD(P)H \rightarrow acétaldehyde + NAD(P); 5) la levure ne possède pas d'activités équivalentes à udhA ou pntA,B.

Le modèle permet de prendre en compte la compartimentation mitochondriale et peroxisomale.

Dans tous les cas, le modèle suggère la délétion d'un gène codant pour une enzyme oxydant le NADPH et en particulier, du gène ZTA1. En pratique toutefois, la souche S. cerevisiae [Δ ZTA1] ne permettra pas d'obtenir un rendement équivalent au rendement optimum théorique, car il sera difficile de maintenir la répartition adéquate de flux de carbone entre la voie des pentoses phosphate et celle de la glycolyse, cette répartition étant variable avec le taux de croissance. En pratique, on préférera donc utiliser les souches S. cerevisiae [Δ (ZTA1, PFK1, PFK2)] ou [Δ (ZTA1, PGI1)], le choix entre ces deux souches étant fonction du taux de croissance de la souche lors du procédé de bioconversion.

20

Les rendements optimaux théoriques de bioconversion de l'éthylacétoacétate en éthyl-3-hydroxybutyrate ont été calculés pour différentes souches de S. cerevisiae optimisées selon l'invention :

	μ = 0	g u = 0,15 h ⁻¹	$\mu = 0.25 h^{-1}$
Δ(ZTA1,PGI1)	2,42	2,00	1,73
Δ(ZTA1,PGI1) TDH1,2,3-NADP dépendant	4,22	3,50	3,03
Δ(ZTA1,PGI1) LPD1-NADP dépendant	4,08	3,29	2,77
Δ(ZTA1,PGI1) TDH1,2,3-NADP dépendant LPD1- NADP dépendant	6,17	5,01	4,23
Δ(ZTA1, PFK1, PFK2)	12,00	8,18	5,64
Δ(ZTA1, PFK1, PFK2) TDH1,2,3-NADP dépendant	12,00	9,11	7,19
Δ(ZTA1, PFK1, PFK2) LPD1-NADP dépendant	12,00	8,44	6,06
Δ(ZTA1, PFK1, PFK2) TDH1,2,3-NADP dépendant LPD1-NADP dépendant	12,00	9,28	7,46

Rendements optimaux théoriques de bioconversion de l'éthy Lacétoacétate en éthyl-3hydroxybutyrate (mol par mol de glucose) par des souches de S. cerevisiae optimisées dans leur capacité de réduction du NADP⁺

Afin d'améliorer encore le rendement optimal théorique des souches optimisées selon l'invention, des modifications supplémentaires peuvent être prises en compte, telles que la surexpression d'au moins un gène choisi parmi ZWF, SOL1, SOL2, SOL3, SOL4, GND1, GND2, IDP1, IDP2 et IDP3 et/ou la délétion d'au moins un gène c'hoisi parmi ICL1, DAL7.

Exemple 2 : Construction de la souche E. coli $[\Delta(udhA, Qor)]$

L'inactivation du gène udhA est réalisée par recombination homologue d'après la technique décrite par Datsenko et Wanner (One-step inactivation of chromosomal genes in Escherichia coli K-12 using PCR products, Proc. Natl. Acad. Sci. USA, 2000, 97: 6640-6645).

Cette technique consiste à insérer une cassette de résistance à un antibiotique (chloramphénicol) tout en délétant la majeure partie du gène concerné. Pour cela on synthétise une paire d'oligonucléotides, chacun étant constitués de 100pb dont 80pb (minuscules) sont

homologues avec le gène à déléter (e.g. udhA) et 20pb (majuscules) sont homologues avec la cassette de résistance au chloramphénicol :

DudhAF

ggtgcgcgctcgcagttatcgagcgttatcaaaatgttggcggcggttgcacccactggggcaccatcccgtcgaaagcCATAT

GAATATCCTCCTTAG

DudhAR

La cassette antibiotique portée par le plasmide pKD3 est amplifiée par PCR en utilisant les oligonucléotides DudhAF et DudhAR. Le produit PCR obtenu est alors introduit par électroporation dans la souche *E. coli* [pKD46], qui porte le gène codant la Red recombinase, enzyme catalysant la recombinaison homologue. Les transformants résistants au chloramphénicol sont alors sélectionnés et l'insertion de la cassette de résistance est vérifiée par une analyse PCR en utilisant les oligonucléotides UdhAF et UdhAR:

15 UdhaF

10

Ggccgctcaggatatagccagataaatgac

UdhaR

Gegggateactttactgccagegetggetg

La cassette de résistance au chloramphénicol est ensuite éliminée. Pour cela, le plasmide pCP20 porteur de la recombinase FLP agissant au niveau des sites FRT de la cassette de résistance au chloramphénicol, est introduit dans les souches recombinantes par électroporation. Puis, après une série de cultures à 42°C, la perte de la cassette de résistance à l'antibiotique est vérifiée par une analyse PCR avec les oligonucléotides UdhAF et UdhAR.

L'inactivation du gène qor est réalisée selon la même technique en utilisant les oligonucléotides suivants :

DqorF

25

 $ggtggcccggaagtacttcaagccgtagagttcactcctgccgatccggcggagaatgaaatcaaggtcgaaaataaagcCATAT\\ GAATATCCTCCTTAG$

DqorR.

30 cgcccggctttccagaatctcatgcgcacgctgcgcatccttcagcggatatttctgctgctcggcgacatcgaccttaaTGTAGGC TGGAGCTGCTTCG

QorF

Cgcccaacaccgactgctccgcttcgatcg

Qor_R

10

20

cagcgttatgaccgctggcgttactaaggg

Pour des raisons pratiques, il peut être intéressant de déléter les deux gènes simultanément. Pour cela chaque gène est remplacé par une cassette de résistance à un antibiotique différent (par exemple chloramphénicol pour *udhA* et kanamycine pour *qor*).

La souche obtenue est donc E. coli [$\Delta(udhA, qor)$].

Exemple 3: Construction du plasmide pSK-PgapA-GRE2p, introduction dans la souche E. coli [\(\Delta(udhA, qor \))] et biotransformation de l'éthylacétoacétate en éthyl-3-hydroxybutyrate

Le plasmide pSK-PgapA est construit par insertion du promoteur gapA dans le vecteur pBluescript-SK (pSK). Pour cela, le promoteur gapA d'E. coli est amplifié avec la polymerase Pwo à partir de l'ADN chromosomique.

Le produit PCR obtenu est ensuite digéré par l'enzyme de restriction *Hind*III et ligaturé au vecteur pSK digéré par l'enzyme de restriction *Hind*III et déphosphorylé pour donner le plasmide pSK-PgapA. Le vecteur pSK porte une origine de réplication pour *E. coli* et un gène de résistance à l'ampicilline.

Le plasmide pSK-PgapA est alors introduit dans la souche E. $coli\ DH5\alpha$ pour vérification de la construction. Le séquençage du promoteur gapA du plasmide pSK-PgapA avec l'oligonucléotide universel M13 forward est ensuite réalisé pour confirmer la construction.

Le plasmide pSK-PgapA-GRE2p est construit par insertion du gène GRE2p dans le plasmide pSK-PgapA. Pour cela, le gène GRE2p de Saccharomyces cerevisiae est amplifié avec la polymerase Pwo à partir de l'ADN chromosomique en utilisant les oligonucléotides suivants:

Ome119 GRE2F (NdeI)

Acgtacgtggcatatgtcagttttcgtttcaggtgctaacggg

30 Ome120 GRE2R (PstI)

Acgtacctgcagttatattctgccctcaaattttaaaatttggg

Le produit PCR obtenu est ensuite digéré par les enzymes de restriction NdeI - PstI et ligaturé au vecteur pSK-PgapA digéré par les enzymes de restriction NdeI - PstI et déphosphorylé pour donner le plasmide pSK-PgapA-GRE2p. Le plasmide pSK-PgapA porte une origine de réplication pour E. coli et un gène de résistance à l'ampicilline.

Le plasmide pSK-PgapA-GRE2p est alors introduit dans la souche *E. coli* DH5α pour vérification de la construction. Le séquençage du gène GRE2p du plasmide pSK-PgapA-GRE2p avec les oligonucléotides universels M13 reverse et M13 forward est ensuite réalisé pour confirmer la construction.

Le plasmide validé est alors introduit dans la souche E. coli [$\Delta(udhA, qor)$] (exemple 10 2) par électroporation.

La souche obtenue *E. coli* [Δ(*udh*A, *qor*) pSK-PgapA-GRE2p] est alors cultivée en milieu minimum contenant du glucose et de l'éthylacétoacétate. Une souche d'*E. coli* [pSK-PgapA-GRE2p] est cultivée dans les mêmes conditions.

Lorsque les cultures sont achevées on compare :

- l'évolution de la biomasse de chaque souche pendant la phase de bioconversion,
- la quantité d'éthyl-3-hydroxybutyrate produit dans le milieu extracellulaire,
- la quantité d'éthyl-3-hydroxybutyrate accumulé dans les cellules,
- la productivité en éthyl-3-hydroxybutyrate,
- le rendement glucose/éthyl-3-hydroxybutyrate.

On pourra observer que la souche *E. coli* [Δ(*udh*A, *qor*) pSK-PgapA-GRE2p] présente un rendement de production d'éthyl-3-hydroxybutyrate accru par rapport à la souche non optimisée.

Exemple 4 : Construction de la souche E. coli [\(\Delta(udhA, qor, pgi\)) pSK-PgapA-GRE2p] et biotransformation de l'éthylacétoacétate en éthyl-3-hydroxybutyrate

L'inactivation du gène pgi est conduite dans la souche $E.\ coli\ [\Delta(udhA,\ qor)]$ (exemple 2) en utilisant la technique décrite dans l'exemple 2, et les oligonucléotides suivants :

DpgiF

15

25

 ${\tt cca} acg cagaccgctgcctggcaggcactacagaaacacttcgatgaaatgaaagacgttacgatcgccgatctttttgcTGTAGG$

30 CTGGAGCTGCTTCG

DpgiR

 ${\tt gcgccacgctttatagcggttaatcagaccattggtcgagctatcgtggctgctgatttctttatcatctttcagctctgCATATGAATATCCTCCTTAG}$

pgiF

gcggggcggttgtcaacgatggggtcatgc

5 pgiR

10

15

25

cggtatgatttccgttaaattacagacaag

La construction est réalisée en milieu riche (e.g. LB). On introduit alors dans la souches obtenue le plasmide pSK-PgapA-GRE2p (exemple 3) par électroporation, et la souche résultante E. coli [Δ(udhA, qor, pgi) pSK-PgapA-GRE2p] est sélectionnée sur milieu riche.

La souche obtenue est alors cultivée en milieu minimum contenant du glucose et de l'éthylacétoacétate. Une souche d'*E. coli* [pSK-PgapA-GRE2p] est cultivée dans les mêmes conditions.

Lorsque les cultures sont achevées on compare :

- l'évolution de la biomasse de chaque souche pendant la phase de bioconversion,
- la quantité d'éthyl-3-hydroxybutyrate produit dans le milieu extracellulaire,
- la quantité d'éthyl-3-hydroxybutyrate accumulé dans les cellules,
- la productivité en éthyl-3-hydroxybutyrate,
- le rendement glucose/éthyl-3-hydroxybutyrate.

On pourra observer que la souche *E. coli* [Δ(*udh*A, *qor*, *pgi*) pSK-PgapA-GRE2p]
présente un rendement de production d'éthyl-3-hydroxybutyrate accru par rapport à la souche non optimisée.

	mol _{EHB} /mol _{Glucose}
MG1655 pSK-PgapA-GRE2p	0,75
MG1655 Δ(<i>udhA</i> , <i>qor</i> , <i>pgi</i>) pSK-PgapA-GRE2p	2,12

Exemple 5 : Construction de la souche E. coli [\(\triangle (udhA, qor, pgi, edd \)) pSK-PgapA-GRE2p] et biotransformation de l'éthylacétoacétate en éthyl-3-hydroxybutyrate

L'inactivation du gène edd est conduite dans la souche E. coli [$\Delta(udhA, qor, pgi)$] (exemple 4) en utilisant la technique décrite dans l'exemple 2, et les oligonucléotides suivants:

DeddF (1932582-1932499)

CgcgcgagactcgctctgcttatctcgcccggatagaacaagcgaaaacttcgaccgttcatcgttcgcagttggcatgcggTGTA GGCTGGAGCTTCG

DeddR (1930866-1930943)

cgcaaggcgctgaataattcacgtcctgttcccacgcgtgacgcgctcaggtcaggaatgtgcggttcgcgagcagccCATATG

5 AATATCCTCCTTAG

20

25

EddF (1932996-1932968)

-Gggtagactccattactgaggcgtgggcg --

EddR (1930439-1930462)

Cccggaatcagaggaatagtccc

La construction est réalisée en milieu riche (e.g. LB). On introduit alors dans la souche obtenue E. coli [Δ(udhA, qor, pgi, edd)] le plasmide pSK-PgapA-GRE2p (exemple 3) par électroporation, et la souche résultante E. coli [Δ(udhA, qor, pgi, edd) pSK-PgapA-GRE2p] est sélectionnée sur milieu riche.

La souche obtenue *E. coli* [Δ(*udh*A, *qor*, *pgi*, *edd*) pSK-PgapA-GRE2p] est alors cultivée en milieu minimum contenant du glucose et de l'éthylacétoacétate. Une souche *E. coli* [pSK-PgapA-GRE2p] est cultivée dans les mêmes conditions.

Lorsque les cultures sont achevées on compare :

- l'évolution de la biomasse de chaque souche pendant la phase de bioconversion,
- la quantité d'éthyl-3-hydroxybutyrate produit dans le milieu extracellulaire,
- la quantité d'éthyl-3-hydroxybutyrate accumulé dans les cellules,
 - la productivité en éthyl-3-hydroxybutyrate,
 - le rendement glucose/éthyl-3-hydroxybutyrate.

On pourra observer que la souche $E.\ coli\ [\Delta(udhA,\ qor,\ pgi,\ edd)\ pSK-PgapA-GRE2p]$ présente un rendement de production d'éthyl-3-hydroxybutyrate accru par rapport à la souche non optimisée.

Exemple 6 : Construction de la souche *E. coli* [$\triangle(udhA, qor, pfkA, pfkB)$ pSK-PgapA-GRE2p] et biotransformation de l'éthylacétoacétate en éthyl-3-hydroxybutyrate

L'inactivation des gènes pfkA et pfkB est conduite dans la souche E. coli [$\Delta(udhA, qor)$] (exemple 2) en utilisant la technique décrite dans l'exemple 2, et les oligonucléotides suivants :

DpfkAF

ggt gtg ttg aca agc ggc ggt gat gcg cca ggc atg aac gcc gca att cgc ggg gtt gtt cgt tct gcg ctg aca gaa ggTGTAGGCTGGAGCTGCTTCG

DpfkAR

TtcgcgcagtccagccagtcacctttgaacggacgcttcatgttttcgatagcgtcgatgatgtcgtggtgaaccagctgCATATG

AATATCCTCCTTAG

PfkAF

Cgcacgcggcagtcagggccgacccgc

PfkAR

10 ccctacgcccacttgttcatcgcccg

DpfkBF (1804421-1804499)

gegecetetetegatagegeaacaattaccccgcaaatttatcccgaaggaaaactgegetgtaccgcaccggtgttcgTGTAGG

CTGGAGCTGCTTCG

DpfkBR (1805320-1805241)

15 gcgggaaaggtaagcgtaaattttttgcgtatcgtcatgggagcacagacgtgttccctgattgagtgtggctgcactccCATATG

AATATCCTCCTTAG

PfkBF (1803996-1804025)

tggcaggatcatccatgacagtaaaaacgg

PfkBR (1805657-1805632)

20 gccggttgcactttgggtaagccccg

30

La construction est réalisée en milieu riche (e.g. LB). On introduit alors dans la souche obtenue $E.\ coli\ [\Delta(udhA,\ qor,\ pfkA,\ pfkB)]$ le plasmide pSK-PgapA-GRE2p (exemple 3) par électroporation, et la souche résultante $E.\ coli\ [\Delta(udhA,\ qor,\ pfkA,\ pfkB)$ pSK-PgapA-GRE2p] est sélectionnée sur milieu riche.

La souche obtenue *E. coli* [Δ(*udh*A, *qor*, *pfkA*, *pfkB*) pSK-PgapA-GRE2p] est alors cultivée en milieu minimum contenant du glucose et de l'éthylacétoacétate. Une souche *E. coli* [pSK-PgapA-GRE2p] est cultivée dans les mêmes conditions.

Lorsque les cultures sont achevées on compare :

- l'évolution de la biomasse de chaque souche pendant la phase de bioconversion,
- la quantité d'éthyl-3-hydroxybutyrate produit dans le milieu extracellulaire,
 - la quantité d'éthyl-3-hydroxybutyrate accumulé dans les cellules,

20

25

- la productivité en éthyl-3-hydroxybutyrate,
- le rendement glucose/éthyl-3-hydroxybutyrate.

On pourra observer que la souche E. coli [$\Delta(udhA, qor, pfkA, pfkB)$ pSK-PgapA-GRE2p] présente un rendement de production d'éthyl-3-hydroxybutyrate accru par rapport à la souche non optimisée.

	mol _{EHB} /mol _{Giucose}
MG1655 pSK-PgapA-GRE2p	0,75
MG1655 Δ(udhA, qor, pfkA, pfkB) pSK-PgapA-GRE2p	3,46

Exemple 7: Construction de la souche E. coli [\(\Delta(udhA, qor, pgi, lpd \)) plpd*, pSK-PgapA GRE2p] et biotransformation de l'éthylacétoacétate en éthyl-3-hydroxybutyrate

Le gène lpd codant la dihydrolipoamide déshydrogénase NAD-dépendante, impliquée dans le complexe multienzymatique pyruvate déshydrogénase, est délété en utilisant la technique décrite dans l'exemple 2 sauf que la souche initiale est la souche E. coli [$\Delta(udhA, qor, pgi)$] décrite dans l'exemple 4 au lieu d'être une souche sauvage. La construction et la sélection de la souche modifiée est réalisée en milieu riche (e.g. LB). La souche obtenue est E. coli [$\Delta(udhA, qor, pgi, lpd)$].

Par ailleurs on construit le plasmide p-lpd* qui permet la surexpression d'une dihydrolipoamide déshydrogénase NADP-dépendante. Il existe différentes possibilités pour modifier la spécificité de cofacteur d'une enzyme. Par exemple Bocanegra et al. (1993) divulguent une méthode pour créer une dihydrolipoamide déshydrogénase NADP-dépendante.

Les plasmides p-lpd* et pSK-PgapA-GRE2p sont alors introduit par électroporation dans la souche E.coli [$\Delta(udhA, qor, pgi, lpd)$], alternativement, on peut choisir de cloner lpd* sur pSK-PgapA-GRE2p; on obtiendrait alors le plasmide pSK-PgapA-GRE2p-lpd* que l'on introduirait par éléctroporation dans la souche E.coli [$\Delta(udhA, qor, pgi, lpd)$]. La construction et la sélection de la souche modifiée est réalisée en milieu riche (e.g. LB).

La souche obtenue E. coli [$\Delta(udhA, qor, pgi, lpd)$ pSK-PgapA-GRE2p, p- lpd^*)] est alors cultivée en milieu minimum contenant du glucose et de l'éthylacétoacétate. Une souche E. coli [pSK-PgapA-GRE2p] est cultivée dans les mêmes conditions.

Lorsque les cultures sont achevées on compare :

10

15

20

- l'évolution de la biomasse de chaque souche pendant la phase de bioconversion,
- la quantité d'éthyl-3-hydroxybutyrate produit dans le milieu extracellulaire,
- la quantité d'éthyl-3-hydroxybutyrate accumulé dans les cellules,
- la productivité en éthyl-3-hydroxybutyrate,
- le rendement glucose/éthyl-3-hydroxybutyrate.

On pourra observer que la souche E. coli [$\Delta(udhA, qor, pgi, lpd)$ pSK-PgapA-GRE2p, p-lpd*)] présente un rendement de production d'éthyl-3-hydroxybutyrate accru par rapport à la souche non optimisée.

Exemple 8: Construction du plasmide pRSGK-GRE2p

Le plasmide pYGK est construit par insertion du promoteur Ppgk, du site de multiclonage et du terminateur cycl du vecteur pYPG2 dans le vecteur pBluescript-SK (pSK). Pour cela, le promoteur Ppgk, le site de multiclonage et le terminateur cycl sont amplifiés avec la polymerase Pfu Turbo à partir du vecteur pYPG2. Le produit PCR obtenu est ensuite digéré par les enzymes de restriction SacII - NotI et ligaturé au vecteur pSK digéré par les enzymes de restriction ApaI - SmaI, ligaturé puis digéré par les enzymes de restriction NotI - SacII et déphosphorylé pour donner le plasmide pYGK.

Le plasmide pYGK est alors introduit dans la souche E. coli DH5α pour vérification de la construction. Le séquençage du promoteur Ppgk, du site de multiclonage et du terminateur cyc1 du plasmide pYGK avec les oligonucléotides universels M13 reverse et M13 forward est ensuite réalisé pour confirmer la construction.

Le plasmide pYGK-GRE2p est ensuite construit par insertion du gène GRE2p dans le plasmide pYGK. Pour cela, le gène GRE2p de Saccharomyces cerevisiae est amplifié avec la polymerase *Pwo* à partir de l'ADN chromosomique, en utilisant les oligonucléotides suivants :

25 Ome376 Gre2 pYGK F (Smal)

Acgtacgtccccgggaaaaatgtcagttttcgtttcaggtgc

Ome377 Gre2 pYGK R (ApaI)

ACGTACGGGCCCTTATATTCTGCCCTCAAATTTTAAAATTTGGG

Le produit PCR obtenu est ensuite digéré par les enzymes de restriction Apal - Smal et ligaturé au vecteur pYGK digéré par les enzymes de restriction Apal - Smal et déphosphorylé pour donner le plasmide pYGK-GRE2p.

10

15

20

25

30

Le plasmide pYGK-GRE2p est alors introduit dans la souche *E. coli* DH5α pour vérification de la construction. Le séquençage du gène GRE2p du plasmide pYGK-GRE2p avec les oligonucléotides universels M13 reverse et M13 forward est ensuite réalisé pour confirmer la construction.

Le plasmide pRSGK-GRE2p est finalement obtenu par digestion des plasmides pYGK-GRE2p et pRS426 avec les enzymes de restriction *NotI - SacII* puis ligation.

Exemple 9 : Construction de la souche S. cerevisiae [\(\triangle (ZTA1) \) pRSGK-GRE2p] et biotransformation de l'éthylacétoacétate en éthyl-3-hydroxybutyrate

L'inactivation du gène ZTA1 est réalisée en insérant un marqueur (résistance à un antibiotique, auxotrophie) tout en délétant la majeure partie du gène concerné. La technique utilisée est décrite par Brachmann et al. (Designer deletion strains derived from Saccharomyces cerevisae S288C: a useful set of strains and plasmids for PCR-mediated gene disruption and other applications, Yeast, 1998, 14: 115-32). On peut aussi utiliser la technique décrite par Wach et al. (New heterologous modules for classical or PCR-based gene disruptions in Saccharomyces cerevisiae, Yeast, 1994, 10: 1793-1808).

Dans tous les cas on obtient une souche finale S. cerevisiae [Δ (ZTA1)], dans laquelle le plasmide pRSGK-GRE2p (exemple 8) est alors introduit.

Alternativement, on peut aussi choisir d'introduire le plasmide pRSGK-GRE2p dans une souche Δ(ZTA1) disponible, par exemple la souche EUROSCARF Y33183 (génotype: BY4743; Mat a/α; his3D1/his3D1; leu2D0/leu2D0; lys2D0/LYS2; MET15/met15D0; ura3D0/ura3D0; YBR046c::kanMX4/YBR046c::kanMX4). Il est alors possible après sporulation de récupérer une souche homozygote S. cerevisiae [Δ(ZTA1) pRSGK-GRE2p].

La souche obtenue S. cerevisiae [Δ(ZTA1) pRSGK-GRE2p] est ensuite cultivée en milieu minimum contenant du glucose et de l'éthylacétoacétate.

La souche témoin S. cerevisiae [pRSGK-GRE2p] est cultivée dans les mêmes conditions.

Lorsque les cultures sont achevées on compare :

- l'évolution de la biomasse de chaque souche pendant la phase de bioconversion,
- la quantité d'éthyl-3-hydroxybutyrate produit dans le milieu extracellulaire,
- la quantité d'éthyl-3-hydroxybutyrate accumulé dans les cellules,

- la productivité en éthyl-3-hydroxybutyrate,
- le rendement glucose/éthyl-3-hydroxybutyrate.

On pourra observer que la souche S. cerevisiae [$\Delta(ZTA1)$ pRSGK-GRE2p] présente un rendement de production d'éthyl-3-hydroxybutyrate accru par rapport à la souche non optimisée.

Exemple 10 : Construction de la souche S. cerevisiae [\(\Delta(ZTA1, PGI1)\) pRSGK-GRE2p] et biotransformation de l'éthylacétoacétate en éthyl-3-hydroxybutyrate

L'inactivation du gène PGI1 est réalisée dans la souche S. cerevisiae [Δ(ZTA1) pRSGK-GRE2p] en utilisant la technique décrite dans l'exemple 9, et les oligonucléotides suivants:

Dpgi1F

CCAACGCAGACCGCTGCCTGGCAGGCACTACAGAAACACTTCGATGAAATGAAA GACGTTACGATCGCCGATCTTTTTGCTGTAGGCTGGAGCTGCTTCG

15 Dpgi1R

5

GCGCCACGCTTTATAGCGGTTAATCAGACCATTGGTCGAGCTATCGTGGCTGCTGA TTTCTTTATCATCTTTCAGCTCTGCATATGAATATCCTCCTTAG

Pgi1F

GCGGGCGGTTGTCAACGATGGGGTCATGC

20 Pgi1R

CGGTATGATTTCCGTTAAATTACAGACAAG

Alternativement il est possible d'utiliser une souche Δ(PGI1) disponible, par exemple la souche EUROSCARF Y23336 (Mat α/a; his3D1/his3D1; leu2D0/leu2D0; lys2D0/LYS2; MET15/met15D0; ura3D0/ura3D0; YBR196c::kanMX4/YBR196c). La souche est alors transformée par le plasmide pRSGK-GRE2p (exemple 8) puis la délétion du gène ZTA1 est réalisée en utilisant la technique décrite dans l'exemple 9.

La souche obtenue S. cerevisiae [Δ(ZTA1, PGI1) pRSGK-GRE2p] est alors cultivée en milieu minimum contenant du glucose et de l'éthylacétoacétate.

La souche témoin S. cerevisiae [pRSGK-GRE2p] est cultivée dans les mêmes 30 conditions.

Lorsque les cultures sont achevées on compare :

- l'évolution de la biomasse de chaque souche pendant la phase de bioconversion,
- la quantité d'éthyl-3-hydroxybutyrate produit dans le milieu extracellulaire,
- la quantité d'éthyl-3-hydroxybutyrate accumulé dans les cellules,
- la productivité en éthyl-3-hydroxybutyrate,
- 5 le rendement glucose/éthyl-3-hydroxybutyrate.

On pourra observer que la souche *S. cerevisiae* [Δ(ZTA1, PGI1) pRSGK-GRE2p] présente un rendement de production d'éthyl-3-hydroxybutyrate accru par rapport à la souche non optimisée.

10 Exemple 11: Construction de la souche S. cerevisiae [Δ(ZTA1, PFK1, PFK2) pRSGK-GRE2p] et biotransformation de l'éthylacétoacétate en éthyl-3-hydroxybutyrate

Les gènes PFK1 et PFK2 sont délétés dans la souche S. cerevisiae [Δ (ZTA1)] en utilisant la technique décrite dans l'exemple 9, et les oligonucléotides suivants : Dpfk1F

15 ATGCAATCTCAAGATTCATGCTACGGTGTTGCATTCAGATCTATCATCACAAATGA TGAAAAGCTTCGTACGCTGCAGGTCG

Dpfk1R

TTTGTTTTCAGCGGCTAAAGCGGCTACCTCAGCTCTCAACTTTAATCTACCGGACA GGATGGGCCACTAGTGGATCTGATATC

20 Pfk1 int F

GCTTTCTTAGAAGCTACCTCCG

Pfk1 int R

GAACCGACAAGACCAACAATGG

Pfk2 int F

25 CAGTTGTACACTTTGGACCC

Pfk2 int R

GATCAGCACCAGTCAAAGAACC

La souche est alors transformée par le plasmide pRSGK-GRE2p (exemple 8).

La souche obtenue S. cerevisiae [Δ(ZTA1, PFK1, PFK2) pRSGK-GRE2p] est alors cultivée en milieu minimum contenant du glucose et de l'éthylacétoacétate.

.5

15

20

25

La souche témoin S. cerevisiae [pRSGK-GRE2p] est cultivée dans les mêmes conditions.

Lorsque les cultures sont achevées on compare :

- l'évolution de la biomasse de chaque souche pendant la phase de bioconversion,
- la quantité d'éthyl-3-hydroxybutyrate produit dans le milieu extracellulaire,
- la quantité d'éthyl-3-hydroxybutyrate accumulé dans les cellules,
- la productivité en éthyl-3-hydroxybutyrate,
- le rendement glucose/éthyl-3-hydroxybutyrate.

On pourra observer que la souche S. cerevisiae [Δ(ZTA1, PFK1, PFK2) pRSGK-10 GRE2p] présente un rendement de production d'éthyl-3-hydroxybutyrate accru par rapport à la souche non optimisée.

	mol _{EHB} /mol _{Glucose}
S. cerevisiae [pRSGK-GRE2p]	en cours
S. cerevisiae [Δ(ZTA1, PFK1, PFK2) pRSGK-GRE2p]	en cours

Exemple 12 : Comparaison entres valeurs expérimentales et prédictions par le modèle métabolique pour l'optimisation de la production d'éthyl-3-hydroxybutyrate par

Escherichia coli

On pourra observer une bonne corrélation entre les modélisations prédictives (exemple 1) et les réalisations expérimentales décrites dans les exemples 3, 4, 5, 6, 7, 9, 10 et 11.

Les exemples 1 à 11 ci-dessus sont des applications particulières du brevet et n'en limitent pas l'utilisation. L'homme de l'art saura aisément adapter ces exemples pour la biotransformation de molécules ayant une synthèse NADPH-dépendante. L'algorithme MetOpt[®] et la stratégie d'optimisation d'un procédé de bioconversion NADPH-dépendant via l'optimisation du ratio NADPH/NADP⁺ est validé; cela nous permet en outre de revendiquer une application élargie à toutes les biotransformations NADPH dépendantes, qui pourront être modélisées et prévues par MetOpt[®] ou l'un de ses dérivés, en utilisant *E. coli*, *S. cerevisiae* ou tout autre microorganisme.

Exemple 13 : Calcul des rendements optimaux théoriques dans le cadre de procédés de fermentation chez E. coli

L'exemple 12 montre que les modèles MetOpt® développés par la société sont applicables aux bioconversions et devraient plus généralement s'appliquer aux biotransformations telles que les fermentations.

A titre d'exemples, le modèle MetOpt®-Coli est appliqué à la production de cystéine ou de 3-hydroxypropionate par fermentation du glucose dans des souches d'*E. coli* optimisées selon l'invention. Les paramètres utilisés sont les mêmes que dans l'exemple 1, à savoir : 1) un flux d'import de glucose à 3 mmol.g⁻¹.h⁻¹, 2) un taux de croissance variable de 0, 0.15 et 0.25 h⁻¹, 3) un flux de la transhydrogénase membranaire (*pntAB*) variable et inférieur ou égal 1 mmol.g⁻¹.h⁻¹. La valeur limite de flux de la transhydrogénase membranaire est déterminée à partir de la littérature (Hanson, 1979; Anderlund *et al.*, 1999; Emmerling *et al.*, 2002); 4) le flux de maintenance a été limité entre 5 et 22 mmol.g⁻¹.h⁻¹.

a) cas de la production de cystéine par fermentation du glucose

	μ = 0	$\mu = 0.15 h^{-1}$	$\mu = 0,25 \text{ h}^{-1}$
Δ(udhA, qor, pgi)	0,66	0,37	0,09
Δ(<i>udhA</i> , <i>qor</i> , <i>pgi</i>) <i>gap</i> A-NADP dépendant	0,78	0,37	0,09
Δ(<i>udhA</i> , <i>qor</i> , <i>pgi</i>) <i>Ipd</i> -NADP dépendant	0,78	0,37	0,09
Δ(<i>udhA</i> , <i>qor</i> , <i>pgi</i>) gapA-NADP dépendant /pd-NADP dépendant	0,78	0,37	0,09
Δ(udhA, qor, pfkA, pfkB)	0,40	0,18	0,01
Δ(<i>udhA</i> , <i>qor</i> , <i>pfkA</i> , <i>pfkB</i>) gapA-NADP dépendant	0,62	0,30	0,06
Δ(<i>udhA</i> , <i>qor</i> , <i>pfkA</i> , <i>pfkB) lpd</i> -NADP dépendant	0,71	0,36	0,13
Δ(<i>udhA</i> , <i>qor</i> , <i>pfkA</i> , <i>pfkB</i>) <i>gap</i> A-NADP dépendant <i>lpd</i> -NADP dépendant	0,77	0,42	0,17

Rendements optimaux théoriques de production de la cystéine

par des souches d'*E. coli* optimisées dans leur capacité de réduction du NADP⁺ (mol par mol de glucose)

Afin d'améliorer encore le rendement optimal théorique des souches optimisées selon l'invention, des modifications supplémentaires peuvent être prises en compte, telles que la surexpression d'au moins un gène choisi parmi zwf, gnd, pntA, pntB et icd et/ou la délétion d'au moins un gène choisi parmi edd, aceA, aceB et aceK.

Dans la pratique pour obtenir de tels rendements, d'autres modifications devront être apportées aux souches optimisées selon l'invention, par exemple en surexprimant le gène cysB comme décrit dans le brevet WO0127307, ou en modifiant le gène cysE comme décrit dans le brevet EP0885962.

b) cas de la production de 3-hydroxypropionate par fermentation du glucose

La production de 3-hydroxypropionate est réalisée dans des souches d'E. coli contenant les gènes codant pour les enzymes de la voie de synthèse du 3-hydroxypropionate, par exemple la malonyl-coA reductase de Chloroflexus aurantiacus (Hügler et al., Journal of Bacteriology, 2002, 184: 2404-2410).

	μ = 0	$\mu = 0.15 h^{-1}$	$\mu = 0.25 h^{-1}$
Δ(udhA, qor, pgi)	1,33	0,79	0,30
Δ(<i>udhA</i> , <i>qor</i> , <i>pgi</i>) gapA-NADP dépendant	1,76	0,99	0,30
Δ(<i>udhA</i> , <i>qor</i> , <i>pgi) Ipd</i> -NADP dépendant	1,82	0,99	0,30
Δ(<i>udhA</i> , <i>qor</i> , <i>pgi) gap</i> A-NADP dépendant <i>lpd</i> -NADP dépendant	1,82	0,99	0,30
Δ (udhA, qor, pfkA, pfkB)	1,62	0,66	0,03
Δ(<i>udhA</i> , <i>qor</i> , <i>pfkA</i> , <i>pfkB</i>) gapA-NADP dépendant	1,76	0,79	0,07
Δ(<i>udhA</i> , <i>qor</i> , <i>pfkA</i> , <i>pfkB</i>) //pd-NADP dépendant	1,79	0,84	0,07
Δ(udhA, qor, pfkA, pfkB) gapA-NADP dépendant /pd-NADP dépendant	1,79	0,84	0,07

Rendements optimaux théoriques de production de 3-hydroxypropionate par des souches d'*E. coli* optimisées dans leur capacité de réduction du NADP⁺

10

20

25

(mol par mol de glucose)

Afin d'améliorer encore le rendement optimal théorique des souches optimisées selon l'invention, des modifications supplémentaires peuvent être prises en compte, telles que la surexpression d'au moins un gène choisi parmi zwf, gnd, pntA, pntB et icd et/ou la délétion d'au moins un gène choisi parmi edd, aceA, aceB et aceK.

Exemple 14: Calcul des rendements optimaux théoriques dans le cadre de procédés de fermentation chez S. cerevisiae; application à la production d'hydrocortisone

L'exemple 12 montre que les modèles MetOpt® développés par la société sont applicables aux bioconversions et devraient plus généralement s'appliquer aux biotransformations telles que les fermentations.

A titre d'exemple, le modèle MetOpt®-Scere est appliqué à la production d'hydrocortisone par fermentation du glucose dans des souches de *S. cerevisiae* optimisées selon l'invention. Les paramètres utilisés sont les mêmes que dans l'exemple 1, à savoir : 1) un flux d'import de glucose à 3 mmol.g⁻¹.h⁻¹, 2) un taux de croissance variable de 0, 0.15 et 0.25 h⁻¹, 3) un flux de maintenance inférieur ou égal à 22 mmol.g⁻¹.h⁻¹; 4) les réactions des aldéhydes déhydrogénases (ALD2, ALD3, ALD6) sont irréversibles et imposées dans le sens acétate + NAD(P)H → acétaldehyde + NAD(P); 5) la levure ne possède pas d'activités équivalentes à *udh*A ou *pnt*A,B.

Le modèle permet de prendre en compte la compartimentation mitochondriale et péroxisomale.

Cette représentation des résultats permet de mettre en évidence l'apport réel de chacune des mutations apportées selon l'invention, dans l'amélioration de la production de NADPH et donc dans l'amélioration du flux de production d'hydrocortisone.

La production d'hydrocortisone est réalisée dans des souches de *S. cerevisiae* contenant les gènes codant pour les enzymes de la voie de synthèse de l'hydrocortisone (Szczebara et al., 2003, *Nature Biotechnology*, 21 : 143-149).

	μ = 0	$\mu = 0,15 \text{ h}^{-1}$	$\mu = 0.25 h^{-1}$
Δ(ZTA1,PGI1)	0,12	0,08	0,06
Δ(ZTA1,PGI1) TDH1,2,3-NADP dépendant	0,21	0,14	0,10

Δ(ZTA1,PGI1) LPD1-NADP dépendant	0,20	0,14	0,10
Δ(ZTA1,PGI1) TDH1,2,3-NADP dépendant	0,21	0,14	0,10
LPD1-NADP dépendant			

Rendements optimaux théoriques de production d'hydrocortisone par des souches de S. cerevisiae optimisées dans leur capacité de réduction du NADP⁺

(mol par mol de glucose)

Les souches dont les gènes PFK1 et PFK2 sont délétés sont incapables de produire de 1'hydrocortisone, voire ne sont pas viables. Ceci est dû au fait que la production d'hydrocortisone est davantage limitée par la demande en carbone que par le besoin en NADPH. Une solution consiste à permettre une légère expression d'une activité de type transhydrogénase chez la levure. Cependant, les modélisations montrent que le flux de production d'hydrocortisone ne sera jamais aussi bon que dans le cas d'une délétion du gène 10 PGI1.

Afin d'améliorer encore le rendement optimal théorique des souches optimisées selon l'invention, des modifications supplémentaires peuvent être prises en compte, telles que la surexpression d'au moins un gène choisi parmi ZWF, SOL1, SOL2, SOL3, SOL4, GND1, GND2, IDP1, IDP2 et IDP3 et/ou la délétion d'au moins un gène choisi parmi ICL1, DAL7.

15

RÉFÉRENCES

- Anderson, E.H. (1946) Growth requirements of virus-resistant mutants of *Escherichia coli* strain "B", *Proc. Natl. Acad. Sci. USA* 32:120-128
- Baudin, A.; Ozier-Kalogeropoulos, O.; Denouel, A.; Lacroute, F. and Cullin, C. (1993)
 A simple and efficient method for direct gene deletion in Saccharomyces cerevisiae,.,
 Nucl. Acids Res. 21, 3329-3330
 - Bocanegra, J.A. Scrutton, N.S.; Perham, R.N. (1993) Creation of an NADP-dependent pyruvate dehydrogenase multienzyme complex by protein engineering. *Biochemistry* 32: 2737-2740
- Brachmann CB, Davies A, Cost GJ, Caputo E, Li J, Hieter P, Boeke JD. (1998)

 Designer deletion strains derived from *Saccharomyces cerevisiae* S288C: a useful set of strains and plasmids for PCR-mediated gene disruption and other applications. *Yeast.* 14:115-32.

- Datsenko, K.A.; Wanner, B.L. (2000) One-step inactivation of chromosomal genes in *Escherichia coli* K-12 using PCR products. *Proc. Natl. Acad. Sci. USA* 97: 6640-6645
- Miller, 1992; A Short Course in Bacterial Genetics: A Laboratory Manual and Handbook for Escherichia coli and Related Bacteria, Cold Spring Harbor Laboratory Press, Cold Spring Harbor, New York
- Sambrook et al. (1989 Molecular cloning: a laboratory manual. 2nd Ed. Cold Spring
- Harbor Lab., Cold Spring Harbor, New York ---
- Schaefer U.; Boos, W.; Takors, R.; Weuster-Botz, D. (1999) Automated sampling device for monitoring intracellular metabolite dynamics., *Anal. Biochem.* **270**: 88-96
- Wach, A.; Brachat, A.; Pohlmann, R.; and Philippsen, P. (1994) New heterologous modules for classical or PCR-based gene disruptions in Saccharomyces cerevisiae, Yeast 10, 1793-1808, 1994.

20

25

REVENDICATIONS

- 1. Souche de microorganisme caractérisée en ce qu'elle comprend la limitation d'une ou plusieurs activité(s) oxydant le NADPH.
- 2. Souche selon la revendication 1, caractérisée en ce qu'on limite une ou plusieurs activités oxydant le NADPH par la délétion d'un ou plusieurs gène(s) codant pour une quinone oxidoréductase et/ou une transhydrogénase soluble.
 - 3. Souche selon l'une des revendications 1 ou 2, caractérisée en ce qu'elle comprend également des modifications permettant de favoriser une ou plusieurs activité(s) enzymatique(s) réduisant le NADP⁺.
- 4. Souche selon la revendication 3, caractérisée en ce qu'elle comprend la délétion d'un ou plusieurs gène(s) codant pour une phosphoglucose isomérase et/ou une phosphofructokinase.
 - 5. Souche selon l'une des revendications 1 à 4, caractérisée en ce qu'elle comprend également la modification d'un ou plusieurs gène(s) codant pour une dihydrolipoamide déshydrogénase et/ou une glycéraldéhyde 3-phosphate déshydrogénase, afin qu'elle(s) utilise(nt) préférentiellement le NADP.
 - 6. Souche selon l'une des revendications 1 à 5, caractérisée en ce qu'elle comprend également la surexpression d'un ou plusieurs gène(s) codant pour une glucose 6-phosphate déshydrogénase, une 6-phosphogluconolactonase, une 6-phosphogluconate déshydrogénase, une isocitrate déshydrogénase ou une transhydrogénase membranaire.
 - 7. Souche selon l'une des revendications 1à 6, caractérisée en ce qu'elle comprend également la délétion d'un ou plusieurs gène(s) codant pour une 6-phosphogluconate déshydratase, une malate synthase, une isocitrate lyase ou une isocitrate déshydrogénase kinase/phosphatase.
 - 8. Souche selon l'une des revendications 1 à 7, caractérisée en ce qu'elle comprend un ou plusieurs gènes, endogène ou exogène, codant des enzymes impliquées dans la biotransformation d'une molécule d'intérêt.
 - 9. Souche selon l'une des revendications 1 à 8, caractérisée en ce qu'elle comprend un ou plusieurs gènes marqueurs de sélection.
- 30 10. Souche selon l'une des revendications 1 à 9, caractérisée en ce qu'elle est choisie parmi les espèces suivantes: Aspergillus sp., Bacillus sp., Brevibacterium sp.,

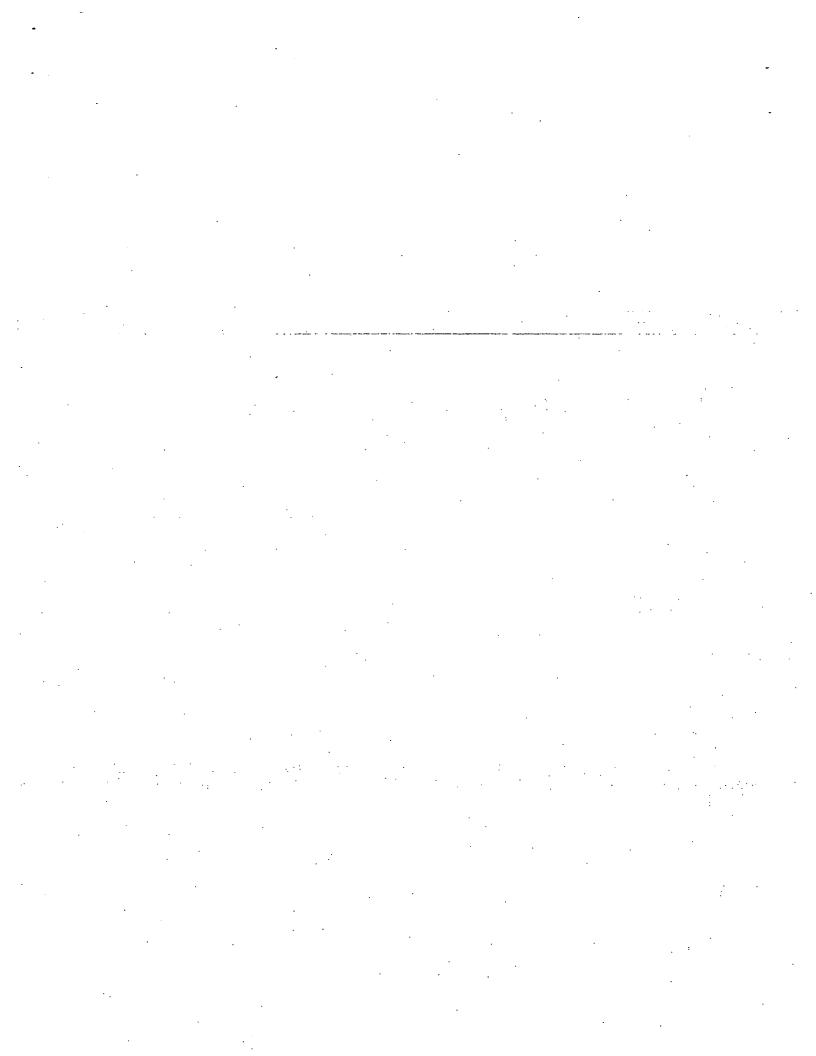
10

15

25

Clostridium sp., Corynebacterium sp., Escherichia sp., Gluconobacter sp., Penicillium sp., Pichia sp., Pseudomonas sp., Rhodococcus sp., Saccharomyces sp., Streptomyces sp., Xanthomonas sp. et Candida sp.

- Procédé de préparation des souches optimisées selon l'une des revendications 1 11. à 10, caractérisé en ce que l'on délète un ou plusieurs gène(s) codant pour une quinone oxidoréductase et/ou une transhydrogénase soluble, et le cas échéant on délète un ou plusieurs gène(s) codant pour une phosphoglucose isomérase, une phosphofructokinase, une 6phosphogluconate déshydratase, une malate synthase, une isocitrate lyase ou une isocitrate déshydrogénase kinase/phosphatase, et/ou on modifie un ou plusieurs gène(s) codant pour une dihydrolipoamide déshydrogénase et/ou une glycéraldéhyde 3-phosphate déshydrogénase, afin qu'elle(s) utilise(nt) préférentiellement le NADP, ces délétions et modifications étant réalisées par un moyen approprié, et/ou on surexprime un ou plusieurs gène(s) codant pour une glucose 6-phosphate déshydrogénase, une 6-phosphogluconolactonase, une 6-phosphogluconate déshydrogénase, une isocitrate déshydrogénase ou une transhydrogénase membranaire, soit en transformant la souche avec un vecteur approprié comprenant un ou plusieurs gène(s) codant une ou plusieurs enzyme(s) impliquées dans la biotransformation d'une molécule d'intérêt et/ou un ou plusieurs gène(s) marqueur de sélection, soit en modifiant la force du ou des promoteur(s) endogène(s) contrôlant le ou les gène(s) à surexprimer.
- 12. Procédé de production d'une molécule d'intérêt dont au moins une des 20 réactions de la voie de biosynthèse est NADPH-dépendante, caractérisé en ce qu'il comprend les étapes suivantes :
 - a) mise en culture des microorganismes optimisés selon l'une des revendications 1 à 10 dans un milieu de culture approprié favorisant leur croissance et comprenant les substances nécessaires pour la réalisation de la biotransformation par fermentation ou biotransformation, à l'exception du NADPH, et
 - b) extraction de la molécule d'intérêt du milieu et le cas échéant purification.
 - 13. Procédé selon la revendication 12, caractérisé en ce que la molécule d'intérêt est choisie parmi les acides aminés, les vitamines, les stérols, les flavonoïdes, les acides gras, les acides organiques, les polyols et les hydroxyesters.



WO 2005/047498

PCT/FR2004/002848

SEQUENCE LISTING

IAPZOREGECTETTION 24 APR 2006

<110>	METABOLIC EXPLORER	
<120>	Souches de microorganismes optimisées pour des voies de bios matrices de NADPH	ynthèses
<130>	D21726	
<150>	FR 0313056	
<151>	2003-11-06	
<160>	38	
<170>	PatentIn version 3.1	٠.
<210>	1	
<211>	100	
<212>	DNA	
<213>	oligonucleotide synthétique	
<400> ggtgcg	1 cgcg tcgcagttat cgagcgttat caaaatgttg gcggcggttg cacccactgg	60
ggcacc	atcc cgtcgaaagc catatgaata tcctccttag	100
<210>	2	•
<211>	100	
<212>	DNA	
<213>	oligonucleotide synthétique	
<400> cccagaa	2 atct cttttgtttc ccgatggaac aaaattttca gcgtgcccac gttcatgccg	60 ·
acgatt	tgtg cgcgtgccag tgtaggctgg agctgcttcg	100
<210>	3	
<211>	30	
<212>	DNA	
<213>	oligonucleotide synthétique	
<400> ggccgct	3 ccag gatatagcca gataaatgac	30
<210>	4	•
<211>	30	
<212>	DNA	

	WO 2005/047498 PC	T/FR2004/00284
<213>	oligonucleotide synthétique	
<400>	4	
gcggga	atcac tttactgcca gcgctggctg	30
<210>	5	
<211>	100	· · ·
<212>	DNA	
<213>	oligonucleotide synthétique	
<400> ggtggc	5 eccgg aagtacttca agccgtagag ttcactcctg ccgatccggc ggagaatgaa	a 60
atccag	gtcg aaaataaagc catatgaata tcctccttag	100
<210>	6	
<211>	100	
<212>	DNA	
<213>	oligonucleotide synthétique	
<400> cgcccg	6 gctt tccagaatct catgcgcacg ctgcgcatcc ttcagcggat atttctgctg	60
ctcggc	gaca tegacettaa tgtaggetgg agetgetteg	100
<210>	7	
<211>	30	
<212>	DNA	
<213>	oligonucleotide synthétique	
<400> cgcccaa	7 acac cgactgctcc gcttcgatcg	30
<210>	8	
<211>	30	
<212>	DNA	
<213>	oligonucleotide synthétique	
	8 atg accgctggcg ttactaaggg	30
<210>	9	
211>	43	
212>	DNA .	•
213>	oligonucleotide synthétique	

	WO 2005/047498	PCT/FR2004/0028
<4002 acgta	> 9 acgtgg catatgtcag ttttcgtttc aggtgctaac ggg	43
<210	> 10	
<211>	> 44	. •
<212>	DNA	
<213>	oligonucleotide synthétique	
<400> acgta	10 .cctgc agttatattc tgccctcaaa ttttaaaatt tggg	44
<210>	- 11	¥
<211>	100	
<212>	DNA	
<213>	oligonucleotide synthétique	
<400> ccaac	11 gcaga ccgctgcctg gcaggcacta cagaaacact tcgatgaaat gaaagac	gtt 60
acgat	cgccg atcttttgc tgtaggctgg agctgcttcg	100
<210>	12	·
<211>	100	
<212>	DNA	
<213>	oligonucleotide synthétique	
<400> gcgcca	12 acgct ttatagcggt taatcagacc attggtcgag ctatcgtggc tgctgat	ttc 60
tttato	eatct ttcagctctg catatgaata tcctccttag	100
<210>	13	
<211>	30	
<212>	DNA	
<213>	oligonucleotide synthétique	•
<400> gcgggg	13 cggt tgtcaacgat ggggtcatgc	30
<210>	14	
<211>	30	
<212>	DNA	
<213>	oligonucleotide synthétique	
<400>	14	

WO 2005/047498	PCT/FR2004/002848
cggtatgatt tccgttaaat tacagacaag	30
<210> 15	· .
<211> 102	·
<212> DNA	
<213> oligonucleotide synthétique	
<400> 15 cgcgcgagac tcgctctgct tatctcgccc ggatagaaca agcgaaaact tcgaccg	ttc 60
ategttegea gttggeatge ggtgtagget ggagetgett eg	102
<210> 16	
<211> 98	
<212> DNA	
<213> oligonucleotide synthétique	
<400> 16 cgcaaggcgc tgaataattc acgtcctgtt cccacgcgtg acgcgctcag gtcagga	atg 60
tgcggttcgc gagcagccca tatgaatatc ctccttag	. 98
<210> 17	
<211> 29	
<212> DNA	
<213> oligonucleotide synthétique	
<400> 17 gggtagaete cattaetgag gegtgggeg	29
<210> 18	
<211> 24	·
<212> DNA	
<213> oligonucleotide synthétique	
<400> 18 ccccggaatc agaggaatag tccc	24
<210> 19	
(211> 100	

<212> DNA

<400> 19

<213> oligonucleotide synthétique

ggtgtgttga caagcggcgg tgatgcgcca ggcatgaacg ccgcaattcg cggggttgtt

60

WO 2005/047498	PCT/FR2004/0028
cgttctgcgc tgacagaagg tgtaggctgg agctgcttcg	100
<210> 20	
<211> 100	
<212> DNA	
<213> oligonucleotide synthétique	
<400> 20 ttcgcgcagt ccagccagtc acctttgaac ggacgcttca tgttttcgat agcgt	cgatg 60
atgtcgtggt gaaccagctg catatgaata tcctccttag	100
<210> 21	
<211> 27	
<212> DNA	
<213> oligonucleotide synthétique	·
<400> 21 cgcacgcggc agtcagggcc gacccgc	27
<210> 22	
<211> 27	
<212> DNA	
<213> oligonucleotide synthétique	
<400> 22 ccctacgccc cacttgttca tegeceg	27
<210> 23	•
<211> 99	•
<212> DNA	
<pre><213> oligonucleotide synthétique</pre>	
<400> 23 gegeeetete tegatagege aacaattaee eegeaaattt ateeegaagg aaaaet	gcgc 60
gtaccgcac cggtgttcgt gtaggctgga gctgcttcg	99
210> 24	
2211> 100	
212> DNA	
213> oligonucleotide synthétique	
400> 24	

gcgggaaagg taagcgtaaa ttttttgcgt atcgtcatgg gagcacagac gtgttccctg

	WO 2005/047498	PCT/FR2004/00284
attga	gtgtg gctgcactcc catatgaata tcctccttag	100
<210>	25	
<211>	30	
<212>	DNA	
<213>	oligonucleotide synthétique	
<400> tggcag	25 gatc atccatgaca gtaaaaacgg	30
<210>	26	
<211>	26	
<212>	DNA	•
<213>	oligonucleotide synthétique	
<400> gccggt	26 tgca ctttgggtaa gccccg	26
<210>	27	
<211>	43	
<212>	DNA	
<213>	oligonucleotide synthétique	
<400>	27 gtcc cccgggaaaa atgtcagttt tcgtttcagg tgc	43
<210>	28	
<211>	4.4	
<212>	DNA	
<213>	oligonucleotide synthétique	
<400> acgtacg	28 ggc ccttatattc tgccctcaaa ttttaaaatt tggg	44
<210>	29	
<211>	100	
<212>	DNA	
<213>	oligonucleotide synthétique	
<400>	29 aga cegetgeetg geaggeacta cagaaacact tegatgaaat gaaagaeg	tt 60
	ccg atcttttgc tgtaggctgg agctgcttcg	100
	30	
		•

WO 2005/047498 PCT/FR2004/002848

<211> 100	
<212> DNA	
<213> oligonucleotide synthétique	·
<400> 30 gcgccacgct ttatagcggt taatcagacc attggtcgag ctatc	egtggc tgctgatttc 60
tttatcatct ttcagetetg catatgaata teeteettag	. 100
<210> 31	
<211> 30	
<212> DNA	
<213> oligonucleotide synthétique	·
<400> 31 gcggggcggt tgtcaacgat ggggtcatgc	30
<210> 32	
<211> 30	
<212> DNA	
<213> oligonucleotide synthétique	
<400> 32 cggtatgatt tccgttaaat tacagacaag	30
<210> 33	
<211> 82	. •
<212> DNA	
<213> oligonucleotide synthétique	,
<400> 33 atgcaatctc aagattcatg ctacggtgtt gcattcagat ctatc	atcac aaatgatgaa 60
aagcttcgta cgctgcaggt cg	82
<210> 34	
<211> 83	
<212> DNA	
<213> oligonucleotide synthétique	
<400> 34	totac oggacaggat 60
ttgttttca geggetaaag eggetaeete ageteteaae tttaat	83
gggccactag tggatctgat atc	

	WO 2005/047498	PCT/FR2004/002848
<211>	22	
<212>	DNA	
<213>	oligonucleotide synthétique	
<400> gctttc	35 ettag aagetacete eg	22
<210>	36	· ·
<211>	22	
<212>	DNA	
<213>	oligonucleotide synthétique	
<400> gaaccg	36 acaa gaccaacaat gg	22
<210>	37	
<211>	20	
<212>	DNA	·
<213>	oligonucleotide synthétique	
<400> cagttg	37 taca ctttggaccc	20
<210>	38	
<211>	22	
<212>.	DNA	
<213>	oligonucleotide synthétique	
<400> gatcago	38 cacc agtcaaagaa cc	. 22

Internati Application No
PCT/FR2004/002848

A. CLASSIFICATION OF SUBJECT MATTER IPC 7 C12N9/02 C12P13/00

C12P7/00

C12P33/00

According to International Patent Classification (IPC) or to both national classification and IPC

B. FIELDS SEARCHED

Minimum documentation searched (classification system followed by classification symbols) IPC 7 C12N C12P

Documentation searched other than minimum documentation to the extent that such documents are included in the fields searched

Electronic data base consulted during the international search (name of data base and, where practical, search terms used)

•			
C. DOCUM	ENTS CONSIDERED TO BE RELEVANT		
Category °	Citation of document, with Indication, where appropriate, of	the relevant passages	Relevant to claim No.
Ρ,Χ	KERVINEN MARKO ET AL: "A pai membrane-embedded acidic resi NuoK subunit of Escherichia c counterpart of the ND4L subun mitochondrial complex I, are high ubiquinone reductase act BIOCHEMISTRY, vol. 43, no. 3, 27 January 2004 (2004-01-27),	dues in the oli NDH-1, a it of the required for ivity."	1,2,10, 11
x	773-781, XP002324463 ISSN: 0006-2960 figure 2; table 1 EP 1 170 376 A (AJINOMOTO CO. 9 January 2002 (2002-01-09) example 2; table 2	, INC)	1,2,9-13
X Furth	er documents are listed in the continuation of box C	γ Patent family members are listed in	annex.
Y tater document published after the international filing date or pnortly date and not in conflict with the application but cated to understand the principle or theory underlying the invention. *Y* document of particular relevance, the claimed invention filing date or which is cred to establish the publication date of another citation or other special reason (as specified) *Y* document of particular relevance, the claimed invention cannot be considered novel or cannot be considered to involve an inventive step when the document is taken alone which is cred to establish the publication date of another citation or other special reason (as specified) *Y* document of particular relevance, the claimed invention cannot be considered to involve an inventive step when the document is combined with one or more other such documents, such combination being obvious to a person skilled in the art *B* document member of the same patent family		ne application but bry underlying the aimed invention be considered to unment is taken alone alimed invention antive step when the e other such docu- to a person skilled	
•	ctual completion of the international search	Date of mailing of the international search	h report
	April 2005	02/05/2005	·
ame and ma	ailing address of the ISA European Patent Office, P B 5818 Patentiaan 2 NL - 2280 HV Rijswijk Tel (+31-70) 340-2040, Tx 31 651 epo nl, Fax (+31-70) 340-3016	Authorized officer Espen, J	

Internation Application No
PCT/FR2004/002848

		PCT/FR2004/002848
C.(Continuation) DOCUMENTS CONSIDERED TO BE RELEVANT		
Category *	Citation of document, with indication, where appropriate, of the relevant passages	Relevant to claim No
X	CALHOUN MELISSA W ET AL: "Demonstration of separate genetic loci encoding distinct membrane-bound respiratory NADH dehydrogenases in Escherichia coli" JOURNAL OF BACTERIOLOGY, vol. 175, no. 10, 1993, pages 3013-3019, XP009046383 ISSN: 0021-9193 the whole document	1,2,9-11
x	WO 98/02552 A (INSTITUTE FOR ANIMAL HEALTH LIMITED; BARROW, PAUL, ANDREW; TURNER, ART) 22 January 1998 (1998-01-22) page 2 - page 3; claims 1-7	1,2,9-11
x	BERTSOVA YULIA V ET AL: "Noncoupled NADH:Ubiquinone oxidoreductase of Azotobacter vinelandii is required for diazotrophic growth at high oxygen concentrations" JOURNAL OF BACTERIOLOGY, vol. 183, no. 23, December 2001 (2001-12), pages 6869-6874, XP002324518 ISSN: 0021-9193 the whole document	1,2,9,11
X .	PIEULLE L ET AL: "The gene encoding the NdhH subunit of type 1 NAD(P)H dehydrogenase is essential to survival of synechocystis PCC6803." FEBS LETTERS. 29 DEC 2000, vol. 487, no. 2, 29 December 2000 (2000-12-29), pages 272-276, XP004337974 ISSN: 0014-5793 the whole document	1,2,9,11
	MOLENAAR DOUWE ET AL: "Functions of the membrane-associated and cytoplasmic malate dehydrogenases in the citric acid cycle of Corynebacterium glutamicum" JOURNAL OF BACTERIOLOGY, WASHINGTON, DC, US, vol. 182, no. 24, December 2000 (2000-12), pages 6884-6891, XP002182880 ISSN: 0021-9193 page 6885; table 1	1,2,9-11
	-/	
	·	

FRERICHS-DEEKEN URSULA ET AL: "Functional expression of the quinoline 2-oxidoreductase genes (qorMSL) in Pseudomonas putida KT2440 pUF1 and in P. putida 86-1 deltagor pUF1 and analysis of the Qor proteins." EUROPEAN JOURNAL OF BIOCHEMISTRY / FEBS, (2003 APR) 270 (7) 1567-77. April 2003 (2003-04), XP002274625 page 1568; table 1 P,X SAUER UWE ET AL: "The soluble and membrane-bound transhydrogenases UdhA and PntAB have divergent functions in NADPH metabolism of Escherichia coli." THE JOURNAL OF BIOLOGICAL CHEMISTRY. UNITED STATES 20 FEB 2004, vol. 279, no. 8, 20 February 2004 (2004-02-20), pages 6613-6619, XP002274624 ISSN: 0021-9258 table I X YAMAGUCHI MUTSUO ET AL: "Proton-translocating nicotinamide nucleotide transhydrogenase of Escherichia coli: Involvement of aspartate 213 in the membrane-intercalating domain of the beta subunit in energy transduction" JOURNAL OF BIOLOGICAL CHEMISTRY, vol. 270, no. 28, 1995, pages 16653-16659, XP002324466 ISSN: 0021-9258 page 16654 A MORITA TEPPEI ET AL: "Accumulation of glucose 6-phosphate or fructose 6-phosphate is responsible for destabilization of glucose transporter mRNA in Escherichia coli." JOURNAL OF BIOLOGICAL CHEMISTRY, vol. 278, no. 18, 2 May 2003 (2003-05-02), pages 15608-15614, XP002274626 ISSN: 0021-9258 page 15613; tables I.IV A NYUNOYA, HIROSHI ET AL: "Effects of sugars and polyols on basidiocarp formation in a phosphoglucose isomerase mutant of Coprinus cinereus"		Action DOCUMENTS CONSIDERED TO BE RELEVANT	Relevant to claim No.
expression of the quinoline 2-oxidoreductase genes (qorMSL) in Pseudomonas putida KT2440 pUF1 and in P. putida 86-1 deltaqor pUF1 and analysis of the Qor proteins." EUROFEAN JOURNAL OF BIOCHEMISTRY / FEBS, (2003 APR) 270 (7) 1567-77. April 2003 (2003-04), XP002274625 page 1568; table 1 P,X SAUER UWE ET AL: "The soluble and membrane-bound transhydrogenases UdhA and PntAB have divergent functions in NADPH metabolism of Escherichia coli." THE JOURNAL OF BIOLOGICAL CHEMISTRY. UNITED STATES 20 FEB 2004, vol. 279, no. 8, 20 February 2004 (2004-02-20), pages 6613-6619, XP002274624 ISSN: 0021-9258 table I X YAMAGUCHI MUTSUO ET AL: "Proton-translocating nicotinamide nucleotide transhydrogenase of Escherichia coli: Involvement of aspartate 213 in the membrane-intercalating domain of the beta subunit in energy transduction" JOURNAL OF BIOLOGICAL CHEMISTRY, vol. 270, no. 28, 1995, pages 16653-16659, XP002324466 ISSN: 0021-9258 page 16654 A MORITA TEPPEI ET AL: "Accumulation of glucose 6-phosphate is responsible for destabilization of glucose transporter mRNA in Escherichia coli." JOURNAL OF BIOLOGICAL CHEMISTRY, vol. 278, no. 18, 2 May 2003 (2003-05-02), pages 15608-15614, XP002274626 ISSN: 0021-9258 page 15613; tables I,IV NYUNOYA, HROSHI ET AL: "Effects of sugars and polyols on basidiocarp formation in a phosphoglucose isomerase mutant of Coprimus cinereus"	Category °	Citation of document, with Indication, where appropriate, of the relevant passages	Helevani (o Claim No.
membrane-bound transhydrogenases UdhA and PntAB have divergent functions in NADPH metabolism of Escherichia coli." THE JOURNAL OF BIOLOGICAL CHEMISTRY. UNITED STATES 20 FEB 2004, vol. 279, no. 8, 20 February 2004 (2004-02-20), pages 6613-6619, XP002274624 ISSN: 0021-9258 table I YAMAGUCHI MUTSUO ET AL: "Proton-translocating nicotinamide nucleotide transhydrogenase of Escherichia coli: Involvement of aspartate 213 in the membrane-intercalating domain of the beta subunit in energy transduction" JOURNAL OF BIOLOGICAL CHEMISTRY, vol. 270, no. 28, 1995, pages 16653-16659, XP002324466 ISSN: 0021-9258 page 16654 MORITA TEPPEI ET AL: "Accumulation of glucose 6-phosphate or fructose 6-phosphate is responsible for destabilization of glucose transporter mRNA in Escherichia coli." JOURNAL OF BIOLOGICAL CHEMISTRY, vol. 278, no. 18, 2 May 2003 (2003-05-02), pages 15608-15614, XP002274626 ISSN: 0021-9258 page 15613; tables I,IV NYUNOYA, HIROSHI ET AL: "Effects of sugars and polyols on basidiocarp formation in a phosphoglucose isomerase mutant of Coprinus cinereus"	X	expression of the quinoline 2-oxidoreductase genes (qorMSL) in Pseudomonas putida KT2440 pUF1 and in P. putida 86-1 deltaqor pUF1 and analysis of the Qor proteins." EUROPEAN JOURNAL OF BIOCHEMISTRY / FEBS, (2003 APR) 270 (7) 1567-77., April 2003 (2003-04), XP002274625	1,2,9-11
6613-6619, XP002274624 ISSN: 0021-9258 table I YAMAGUCHI MUTSUO ET AL: "Proton-translocating nicotinamide nucleotide transhydrogenase of Escherichia coli: Involvement of aspartate 213 in the membrane-intercalating domain of the beta subunit in energy transduction" JOURNAL OF BIOLOGICAL CHEMISTRY, vol. 270, no. 28, 1995, pages 16653-16659, XP002324466 ISSN: 0021-9258 page 16654 A MORITA TEPPEI ET AL: "Accumulation of glucose 6-phosphate or fructose 6-phosphate is responsible for destabilization of glucose transporter mRNA in Escherichia coll." JOURNAL OF BIOLOGICAL CHEMISTRY, vol. 278, no. 18, 2 May 2003 (2003-05-02), pages 15608-15614, XP002274626 ISSN: 0021-9258 page 15613; tables I,IV NYUNOYA, HIROSHI ET AL: "Effects of sugars and polyols on basidiocarp formation in a phosphoglucose isomerase mutant of Coprinus cinereus"	Ρ,Χ	membrane-bound transhydrogenases UdhA and PntAB have divergent functions in NADPH metabolism of Escherichia coli." THE JOURNAL OF BIOLOGICAL CHEMISTRY. UNITED STATES 20 FEB 2004, vol. 279, no. 8,	1-4,9-11
"Proton-translocating nicotinamide nucleotide transhydrogenase of Escherichia coli: Involvement of aspartate 213 in the membrane-intercalating domain of the beta subunit in energy transduction" JOURNAL OF BIOLOGICAL CHEMISTRY, vol. 270, no. 28, 1995, pages 16653-16659, XP002324466 ISSN: 0021-9258 page 16654 MORITA TEPPEI ET AL: "Accumulation of glucose 6-phosphate or fructose 6-phosphate is responsible for destabilization of glucose transporter mRNA in Escherichia coli." JOURNAL OF BIOLOGICAL CHEMISTRY, vol. 278, no. 18, 2 May 2003 (2003-05-02), pages 15608-15614, XP002274626 ISSN: 0021-9258 page 15613; tables I,IV NYUNOYA, HIROSHI ET AL: "Effects of sugars and polyols on basidiocarp formation in a phosphoglucose isomerase mutant of Coprinus cinereus"		6613-6619, XP002274624 ISSN: 0021-9258	
glucose 6-phosphate or fructose 6-phosphate is responsible for destabilization of glucose transporter mRNA in Escherichia coli." JOURNAL OF BIOLOGICAL CHEMISTRY, vol. 278, no. 18, 2 May 2003 (2003-05-02), pages 15608-15614, XP002274626 ISSN: 0021-9258 page 15613; tables I,IV NYUNOYA, HIROSHI ET AL: "Effects of sugars and polyols on basidiocarp formation in a phosphoglucose isomerase mutant of Coprinus cinereus"	X	"Proton-translocating nicotinamide nucleotide transhydrogenase of Escherichia coli: Involvement of aspartate 213 in the membrane-intercalating domain of the beta subunit in energy transduction" JOURNAL OF BIOLOGICAL CHEMISTRY, vol. 270, no. 28, 1995, pages 16653-16659, XP002324466 ISSN: 0021-9258	1,2,9-11
sugars and polyols on basidiocarp formation in a phosphoglucose isomerase mutant of Coprinus cinereus"	A	glucose 6-phosphate or fructose 6-phosphate is responsible for destabilization of glucose transporter mRNA in Escherichia coli." JOURNAL OF BIOLOGICAL CHEMISTRY, vol. 278, no. 18, 2 May 2003 (2003-05-02), pages 15608-15614, XP002274626 ISSN: 0021-9258	
30(1), 45-51, 1984, XP009027484 abstract	4	sugars and polyols on basidiocarp formation in a phosphoglucose isomerase mutant of Coprinus cinereus" CANADIAN JOURNAL OF MICROBIOLOGY (1984), 30(1), 45-51, 1984, XP009027484	

Internati Application No
PCT/FR2004/002848

Category* Caston of document. with indication, where appropriate, of the relevant passages A MARX ACHIM ET AL: "Metabolic phenotype of phosphoglucose isomerase mutants of Corynebacterium glutamicum." JOURNAL OF BIOTECHNOLOGY, (2003 SEP 4) 104 (1-3) 185-97. 4 September 2003 (2003-09-04), XP0002263663 abstract page 195 - page 196 A BOLES E ET AL: "THE ROLE OF THE NAD-DEPENDENT GLUTAMATE GEHYOROGENASE IN RESTORING GROWTH ON GLUCOSE OF A SACCHAROMYCES CEREVISIAE PHOSPHOGLUCOSE ISOMERASE MUTANT" EUROPEAN JOURNAL OF BIOCHEMISTRY, BERLIN, DE, vol. 217, no. 1, 1 Cotober 1993 (1993-10-01), pages 469-477, XP000960373 ISSN: 0014-2956 abstract			PCT/FR2004/002848
A MARX ACHIM ET AL: "Metabolic phenotype of phosphoglucose isomerase mutants of Corynebacterium glutamicum." JOURNAL OF BIOTECHNOLOGY, (2003 SEP 4) 104 (1-3) 185-97., 4 September 2003 (2003-09-04), XP002263663 abstract page 195 - page 196 A BOLES E ET AL: "THE ROLE OF THE NAD-DEPENDENT GLUTAMATE GEHYDROGENASE IN RESTORING GROWTH ON GLUCOSE OF A SACCHAROMYCES CEREVISIAE PHOSPHOGLUCOSE ISOMERASE MUTANT" EUROPEAN JOURNAL OF BIOCHEMISTRY, BERLIN, DE, vol. 217, no. 1, 1 October 1993 (1993-10-01), pages 469-477, XP000960373 ISSN: 0014-2956	C.(Continu		
phosphoglucose isomerase mutants of Corynebacterium glutamicum." JOURNAL OF BIOTECHNOLOGY, (2003 SEP 4) 104 (1-3) 185-97., 4 September 2003 (2003-09-04), XP002263663 abstract page 195 - page 196 A BOLES E ET AL: "THE ROLE OF THE NAD-DEPENDENT GLUTAMATE GEHYDROGENASE IN RESTORING GROWTH ON GLUCOSE OF A SACCHAROMYCES CEREVISIAE PHOSPHOGLUCOSE ISOMERASE MUTANT" EUROPEAN JOURNAL OF BIOCHEMISTRY, BERLIN, DE, vol. 217, no. 1, 1 October 1993 (1993-10-01), pages 469-477, XP000960373 ISSN: 0014-2956	Category *	Citation of document, with indication, where appropriate, of the relevant passages	Relevant to claim No.
BOLES E ET AL: "THE ROLE OF THE NAD-DEPENDENT GLUTAMATE GEHYDROGENASE IN RESTORING GROWTH ON GLUCOSE OF A SACCHAROMYCES CEREVISIAE PHOSPHOGLUCOSE ISOMERASE MUTANT" EUROPEAN JOURNAL OF BIOCHEMISTRY, BERLIN, DE, vol. 217, no. 1, 1 October 1993 (1993-10-01), pages 469-477, XP000960373 ISSN: 0014-2956	A	phosphoglucose isomerase mutants of Corynebacterium glutamicum." JOURNAL OF BIOTECHNOLOGY, (2003 SEP 4) 104 (1-3) 185-97., 4 September 2003 (2003-09-04), XP002263663 abstract	
DE, vol. 217, no. 1, 1 October 1993 (1993-10-01), pages 469-477, XP000960373 ISSN: 0014-2956	A	BOLES E ET AL: "THE ROLE OF THE NAD-DEPENDENT GLUTAMATE GEHYDROGENASE IN RESTORING GROWTH ON GLUCOSE OF A SACCHAROMYCES CEREVISIAE PHOSPHOGLUCOSE ISOMERASE MUTANT"	
		DE, vol. 217, no. 1, 1 October 1993 (1993-10-01), pages 469-477, XP000960373 ISSN: 0014-2956	
	•		
			·

Information on patent family members

Internation Application No
PCT/FR2004/002848

Patent document cited in search report		Publication date		Patent family member(s)	Publication date
EP 1170376	A	09-01-2002	JP	2002017363 A	22-01-2002
			ΑU	5416901 A	10-01-2002
			BR	0102666 A	26-02-2002
			CN	1335401 A	13-02-2002
			ΕP	1170376 A1	09-01-2002
			PL	348448 A1	14-01-2002
			RU	2238325 C2	20-10-2004
			US	2002160461 A1	31-10-2002
WO 9802552	- A	22-01-1998	AU	3452997 A	09-02-1998
			EP	0938565 A2	01-09-1999
		•	WO	9802552 A2	22-01-1998

Demand ernationale No PCT/FR2004/002848

A. CLASSEMENT DE L'OBJET DE LA DEMANDE CIB 7 C12N9/02 C12P13/00

C12P7/00

C12P33/00

Selon la classification internationale des brevets (CIB) ou à la fois selon la classification nationale et la CIB

B. DOMAINES SUR LESQUELS LA RECHERCHE A PORTE

Documentation minimale consultée (système de classification suivi des symboles de classement) C12N C12P CIB 7

Documentation consultée autre que la documentation minimale dans la mesure où ces documents relèvent des domaines sur lesquels a porté la recherche

Base de données électronique consultée au cours de la recherche Internationale (nom de la base de données, et si réalisable, termes de recherche utilisés)

EPO-Internal, MEDLINE, BIOSIS, CHEM ABS Data

C. DOCUME	INTS CONSIDERES COMME PERTINENTS		
Catégorie °	Identification des documents cités, avec, le cas échéant, l'indication	des passages pertinents	no. des revendications visées
P,X	KERVINEN MARKO ET AL: "A pair of membrane-embedded acidic residues NuoK subunit of Escherichia coli counterpart of the ND4L subunit o mitochondrial complex I, are requipled high ubiquinone reductase activit BIOCHEMISTRY, vol. 43, no. 3, 27 janvier 2004 (2004-01-27), pag 773-781, XP002324463 ISSN: 0006-2960 figure 2; tableau 1	in the NDH-1, a f the ired for y."	1,2,10,
x	EP 1 170 376 A (AJINOMOTO CO., IN 9 janvier 2002 (2002-01-09) exemple 2; tableau 2	C)	1,2,9-13
V Vov to	-, auto du entre C pour le fin de la bate des de un este	/	
<u> </u>	suite du cadre C pour la fin de la tiste des documents spéciales de documents cités;	Les documents de familles de bro	evets sont indiques en annexe
A' document consider E' document ou après L' document priorité o autre cita O' document une expo	t definissant l'état général de la technique, non ré comme particulièrement pertinent t anténeur, mais publié à la date de dépôt international cette date	 document ultérieur publié après la dat date de prorité et n'appartenenant put technique pertinent, mais cité pour cou la théone constituant la base de l'étre considérée comme nouvelle ou ci inventive par rapport au document courant courant particulièrement pertinent, l'etre considérée comme nouvelle ou ci inventive par rapport au document condument particulièrement pertinent, l'ne peut être considérée comme implifiere le document est associé à un documents de même nature, cette co pour une personne du mêtier 	as à l'état de la comprendre le principe invention invention revendiquée ne peut comme impliquant une activité inscréré isolément invention revendiquée quant une activité inventive ou plusieurs autres
postérieu	urement à la date de priorité revendiquée *8 e la recherche internationale a été effectivement achevée	document qui fait partie de la même fa Date d'expédition du présent rapport d	
	avril 2005	02/05/2005	
om el adress	e postale de l'administration chargée de la recherche internationale Office Européen des Brevets, P.B 5818 Patentiaan 2 NL - 2280 HV Riswijk Tel (+31-70) 340-2040, Tx. 31 651 epo ni, Fax (+31-70) 340-3016	Fonctionnaire autorisé Espen, J	

Demand Pernationale No
PCT/FR2004/002848

			04/002848	
	OCUMENTS CONSIDERES COMME PERTINENTS	la anto	no des revendications visées	
Catégorie °	Identification des documents cités, avec, le cas échéant, l'indication des passages per	inents	no des revendications visees	
	CALHOUN MELISSA W ET AL: "Demonstration of separate genetic loci encoding distinct membrane-bound respiratory NADH dehydrogenases in Escherichia coli" JOURNAL OF BACTERIOLOGY, vol. 175, no. 10, 1993, pages 3013-3019, XP009046383 ISSN: 0021-9193 le document en entier		1,2,9-11	
X :	WO 98/02552 A (INSTITUTE FOR ANIMAL HEALTH LIMITED; BARROW, PAUL, ANDREW; TURNER, ART) 22 janvier 1998 (1998-01-22) page 2 - page 3; revendications 1-7	:	1,2,9-11	
X	BERTSOVA YULIA V ET AL: "Noncoupled NADH: Ubiquinone oxidoreductase of Azotobacter vinelandii is required for diazotrophic growth at high oxygen concentrations" JOURNAL OF BACTERIOLOGY, vol. 183, no. 23, décembre 2001 (2001-12), pages 6869-6874, XP002324518 ISSN: 0021-9193 le document en entier		1,2,9,11	
K	PIEULLE L ET AL: "The gene encoding the NdhH subunit of type 1 NAD(P)H dehydrogenase is essential to survival of synechocystis PCC6803." FEBS LETTERS. 29 DEC 2000, vol. 487, no. 2, 29 décembre 2000 (2000-12-29), pages 272-276, XP004337974 ISSN: 0014-5793 le document en entier		1,2,9,11	
X	MOLENAAR DOUWE ET AL: "Functions of the membrane-associated and cytoplasmic malate dehydrogenases in the citric acid cycle of Corynebacterium glutamicum" JOURNAL OF BACTERIOLOGY, WASHINGTON, DC, US, vol. 182, no. 24, décembre 2000 (2000-12), pages 6884-6891, XP002182880 ISSN: 0021-9193 page 6885; tableau 1	· · .	1,2,9-11	
Ī				
	- /			
	•	•		

Demanda Pernationale No
PCT/FR2004/002848

C (sulta) D	OCUMENTS CONSIDERES COMME PERTINENTS	1	J4/002848
	Identification des documents cités, avec, le cas échéant, l'indication des passages	pertinents	no. des revendications visées
X	FRERICHS-DEEKEN URSULA ET AL: "Functional expression of the quinoline 2-oxidoreductase genes (qorMSL) in Pseudomonas putida KT2440 pUF1 and in P. putida 86-1 deltaqor pUF1 and analysis of the Qor proteins." EUROPEAN JOURNAL OF BIOCHEMISTRY / FEBS, (2003 APR) 270 (7) 1567-77., avril 2003 (2003-04), XP002274625 page 1568; tableau 1		1,2,9-11
P,X	SAUER UWE ET AL: "The soluble and membrane-bound transhydrogenases UdhA and PntAB have divergent functions in NADPH metabolism of Escherichia coli." THE JOURNAL OF BIOLOGICAL CHEMISTRY. UNITED STATES 20 FEB 2004, vol. 279, no. 8, 20 février 2004 (2004-02-20), pages 6613-6619, XP002274624 ISSN: 0021-9258 tableau I		1-4,9-11
X	YAMAGUCHI MUTSUO ET AL: "Proton-translocating nicotinamide nucleotide transhydrogenase of Escherichia coli: Involvement of aspartate 213 in the membrane-intercalating domain of the beta subunit in energy transduction" JOURNAL OF BIOLOGICAL CHEMISTRY, vol. 270, no. 28, 1995, pages 16653-16659, XP002324466 ISSN: 0021-9258 page 16654		1,2,9-11
4	MORITA TEPPEI ET AL: "Accumulation of glucose 6-phosphate or fructose 6-phosphate is responsible for destabilization of glucose transporter mRNA in Escherichia coli." JOURNAL OF BIOLOGICAL CHEMISTRY, vol. 278, no. 18, 2 mai 2003 (2003-05-02), pages 15608-15614, XP002274626 ISSN: 0021-9258 page 15613; tableaux I,IV		
	NYUNOYA, HIROSHI ET AL: "Effects of sugars and polyols on basidiocarp formation in a phosphoglucose isomerase mutant of Coprinus cinereus" CANADIAN JOURNAL OF MICROBIOLOGY (1984), 30(1), 45-51, 1984, XP009027484 abrégé		

Demand Pernationale No PCT/FR2004/002848

C.(sulte) DOCUMENTS CONSIDERES COMME PERTINENTS Identification des documents cités, avec, le cas échéant, l'indication des passages pertinents no, des revendications visées MARX ACHIM ET AL: "Metabolic phenotype of phosphoglucose isomerase mutants of Corynebacterium glutamicum." JOURNAL OF BIOTECHNOLOGY, (2003 SEP 4) 104 (1-3) 185-97.4 septembre 2003 (2003-09-04), XP002263663 abrégé page 195 - page 196 BOLES E ET AL: "THE ROLE OF THE NAD-DEPENDENT GLUTAMATE GEHYDROGENASE IN RESTORING GROWTH ON GLUCOSE OF A SACCHAROMYCES CEREVISIAE PHOSPHOGLUCOSE **ISOMERASE MUTANT"** EUROPEAN JOURNAL OF BIOCHEMISTRY, BERLIN, DE, vol. 217, no. 1, 1 octobre 1993 (1993-10-01), pages 469-477, XP000960373 ISSN: 0014-2956 abrégé

Formulaire PCT/ISA/210 (suite de la deuxième feuille) (Janvier 2004)

Renselgnements relatifs aux membres de ramines de prevets

Demand Pernationale No
PCT/FR2004/002848

	cument brevet cité pport de recherche	_	Date de publication		Membre(s) de la famille de brevet(s)	Date de publication
EP	1170376	A	09-01-2002	JP AU BR CN EP PL RU US	2002017363 A 5416901 A 0102666 A 1335401 A 1170376 A1 348448 A1 2238325 C2 2002160461 A1	22-01-2002 10-01-2002 26-02-2002 13-02-2002 09-01-2002 14-01-2002 20-10-2004 31-10-2002
WO	9802552	Α .	22-01-1998	AU EP WO	3452997 A 0938565 A2 9802552 A2	09-02-1998 01-09-1999 22-01-1998

This Page is Inserted by IFW Indexing and Scanning Operations and is not part of the Official Record

BEST AVAILABLE IMAGES

Defective images within this document are accurate representations of the original documents submitted by the applicant.

Defects in the images include but are not limited to the items checked:
BLACK BORDERS
☐ IMAGE CUT OFF AT TOP, BOTTOM OR SIDES
☐ FADED TEXT OR DRAWING
☐ BLURRED OR ILLEGIBLE TEXT OR DRAWING
☐ SKEWED/SLANTED IMAGES
☐ COLOR OR BLACK AND WHITE PHOTOGRAPHS
☐ GRAY SCALE DOCUMENTS
☐ LINES OR MARKS ON ORIGINAL DOCUMENT
☐ REFERENCE(S) OR EXHIBIT(S) SUBMITTED ARE POOR QUALITY
OTHER:

IMAGES ARE BEST AVAILABLE COPY.

As rescanning these documents will not correct the image problems checked, please do not report these problems to the IFW Image Problem Mailbox.